



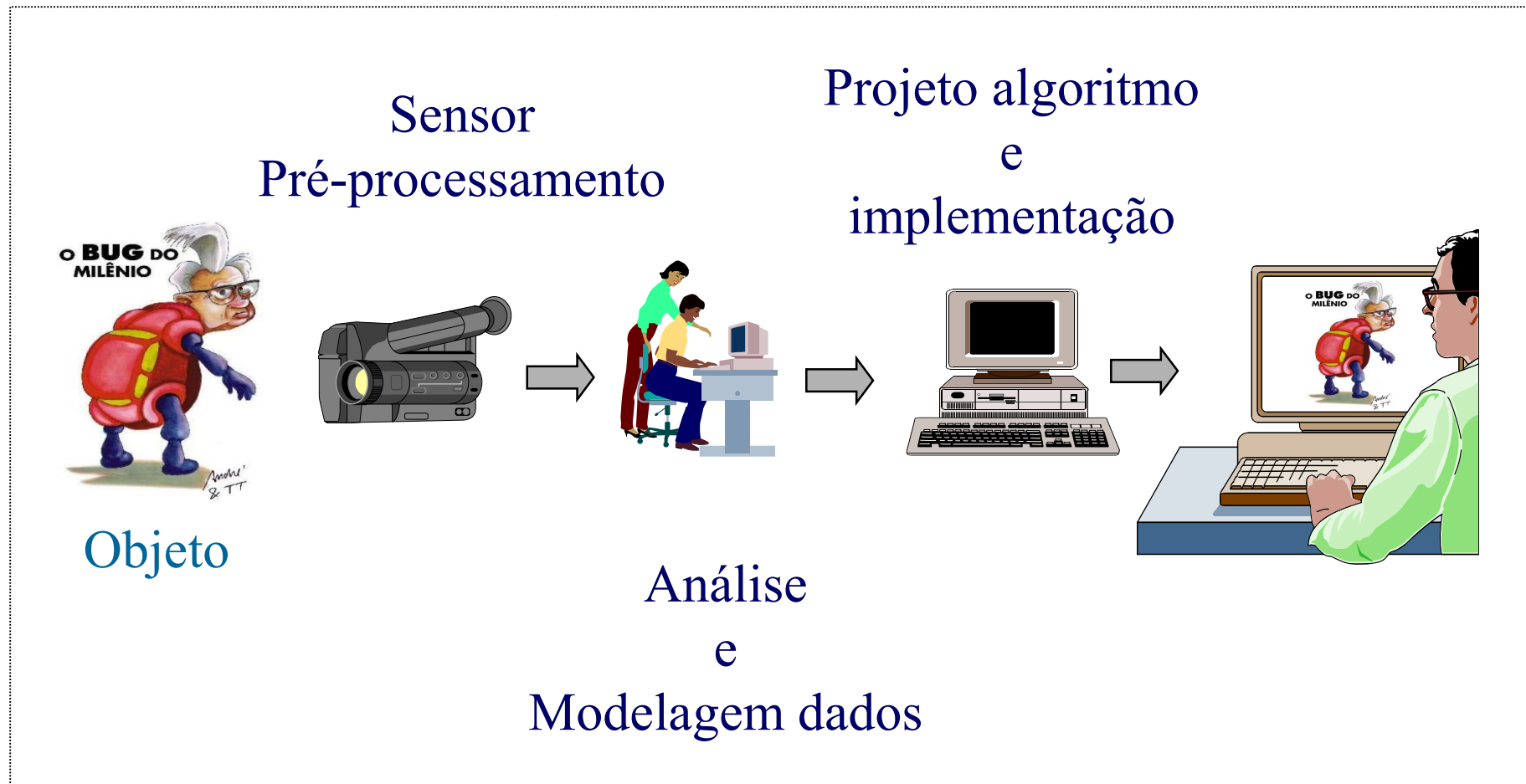
EA 072 Inteligência Artificial em Aplicações Industriais

8-Redes Neurais

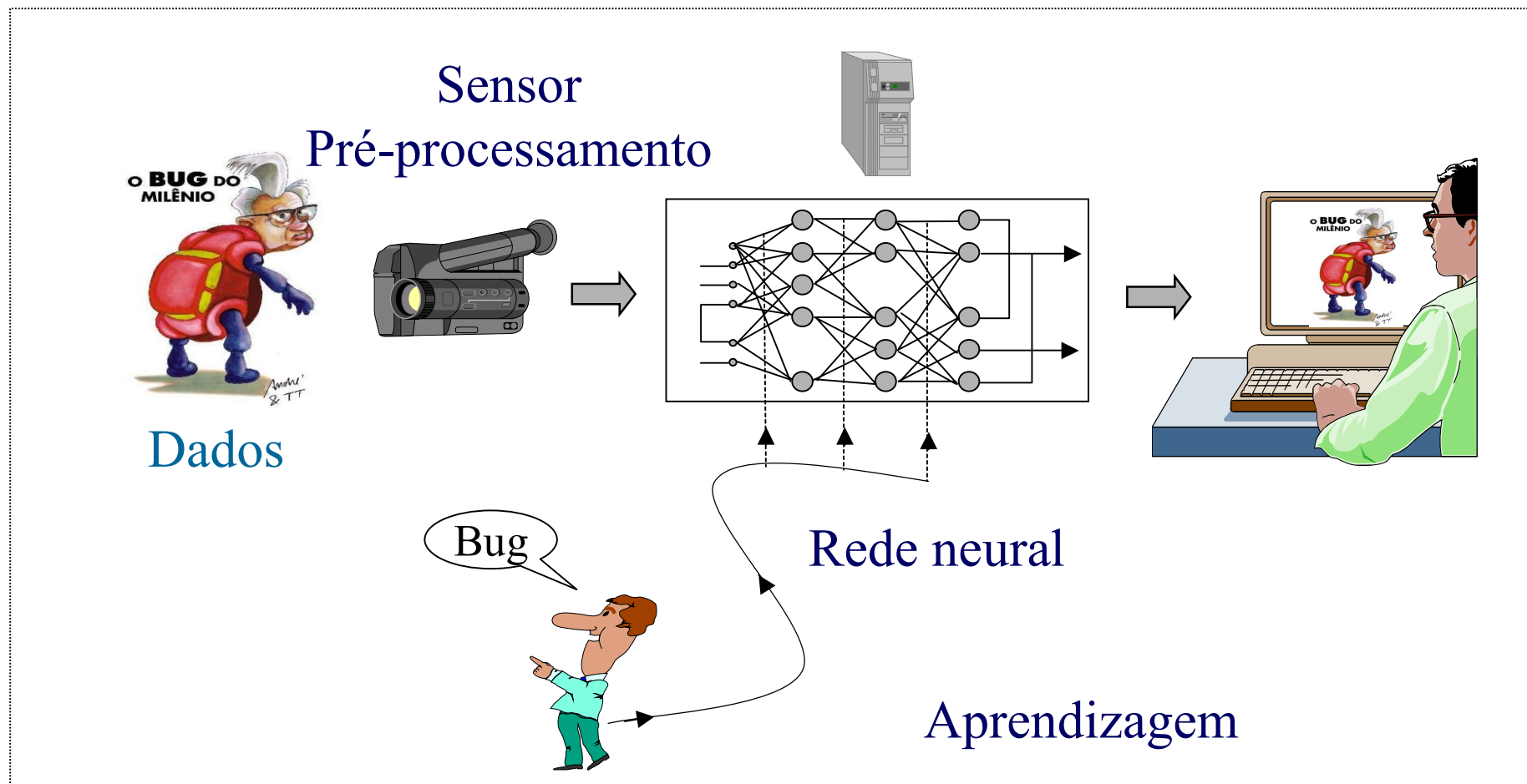
Introdução

- Modelo computacional
 - mecanismo para representar funções
 - conexões entre elementos computacionais simples
 - aprendizagem via exemplos
- Modelo biológico
 - modelo matemático da operação do cérebro
 - elementos de computação: neurônios
 - interconexões entre neurônios: rede neural

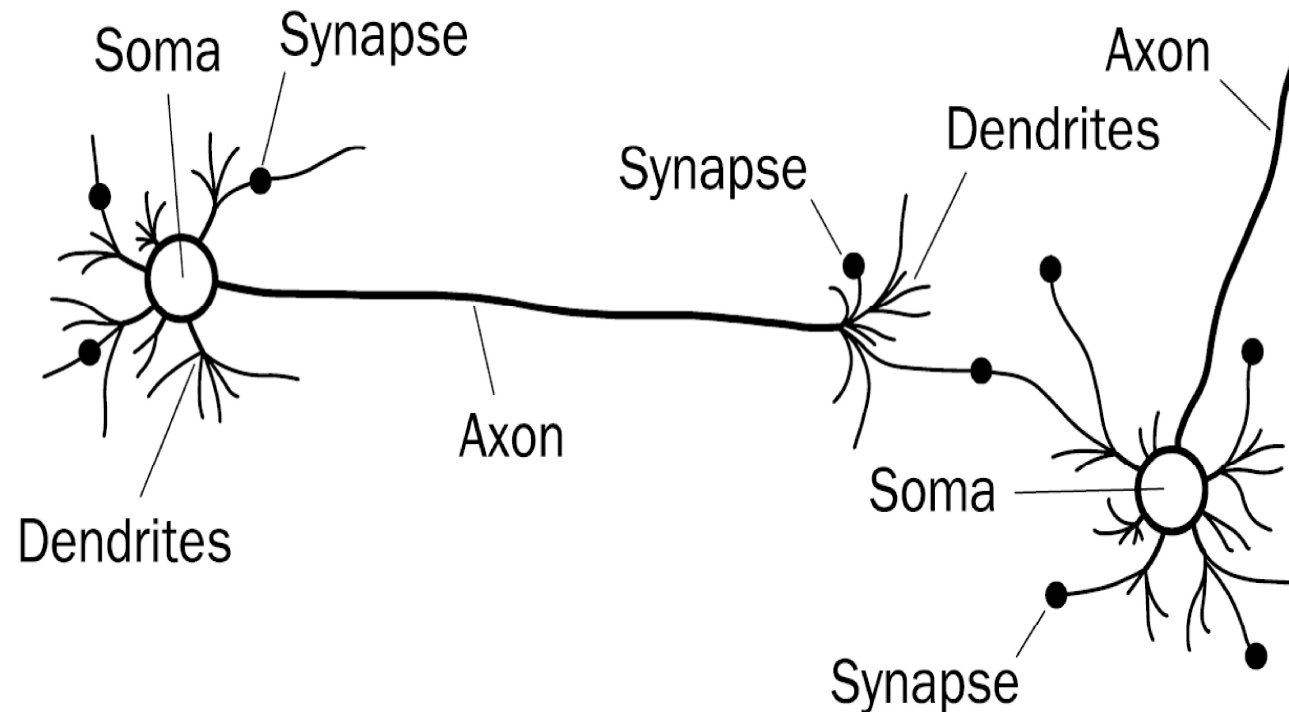
Processamento convencional



Processamento neural



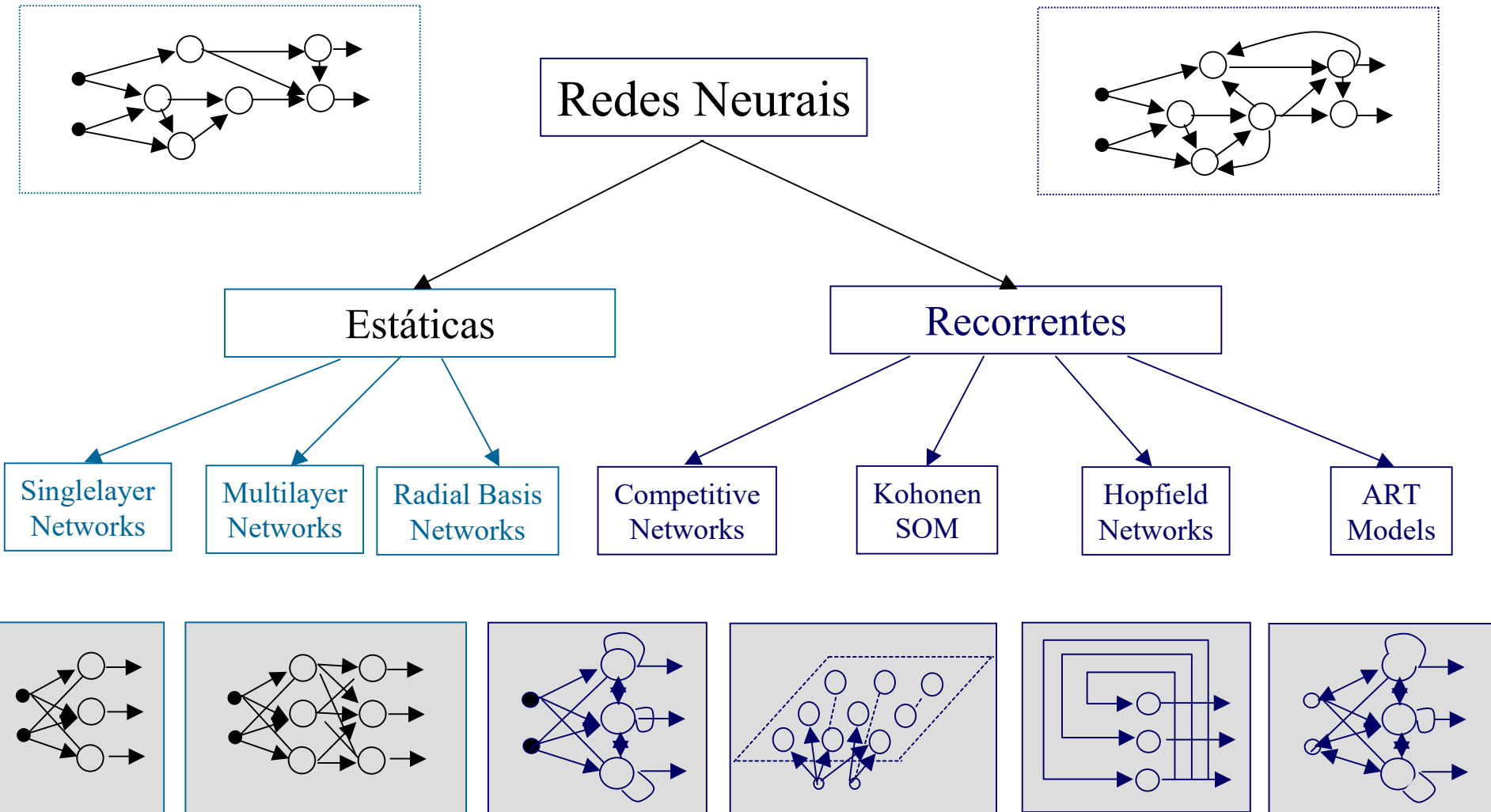
Neurônio natural



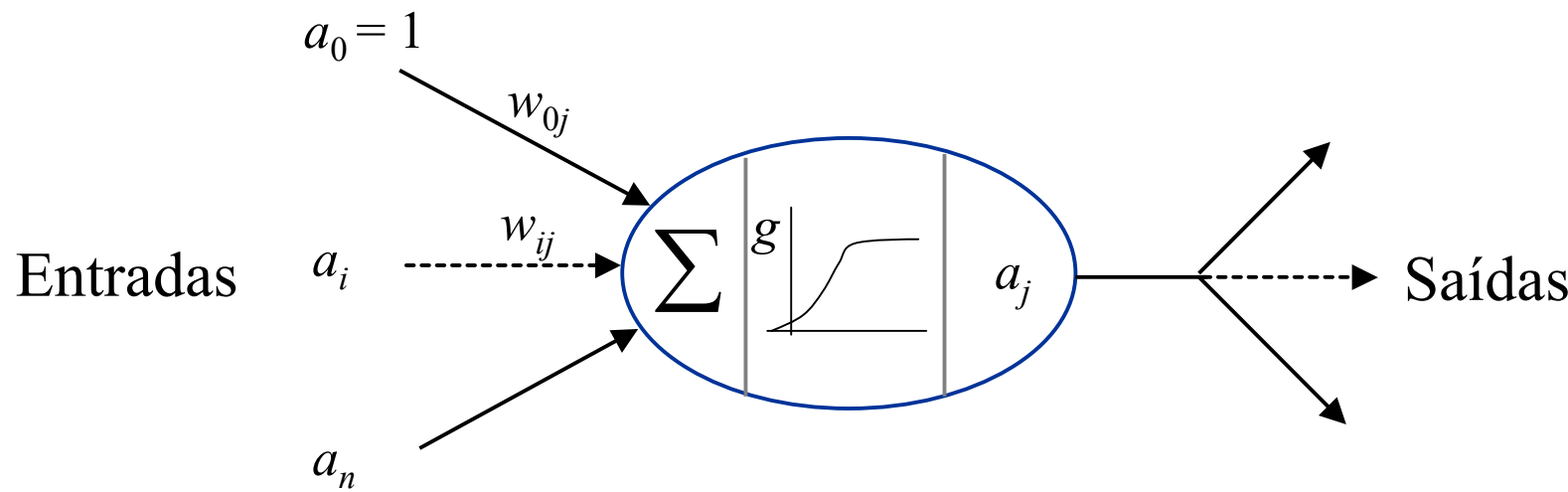
Computador × cérebro

	Computador	Cérebro
Unidade computação	1 CPU, 10^5 portas	10^{11} neurônios
Unidade armazenagem	10^9 RAM 10^{10} disco	10^{11} neurônios 10^{14} sinapses
Ciclo	10^{-8} s	10^{-3} s
Velocidade comunicação	10^9 bits/s	10^{14} conexões/s
Consumo energia	10-16 J/operação/s	6-10 J/operação/s

Modelos de redes neurais artificiais



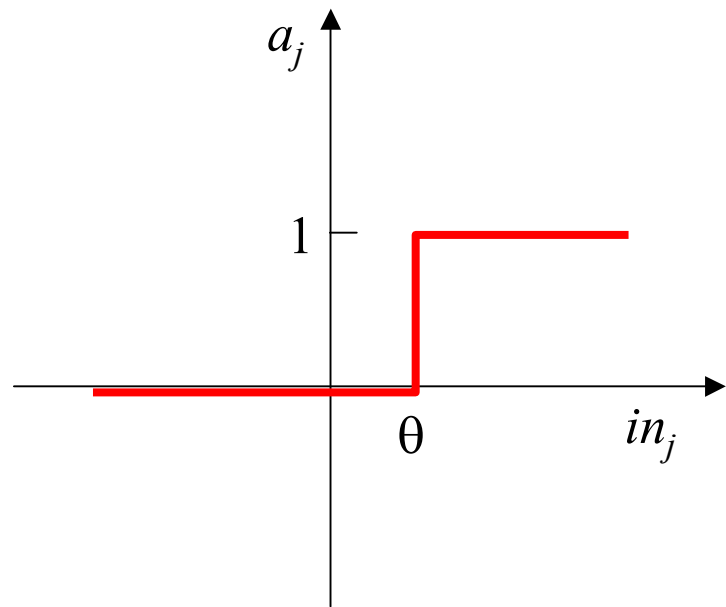
Neurônios e redes neurais artificiais



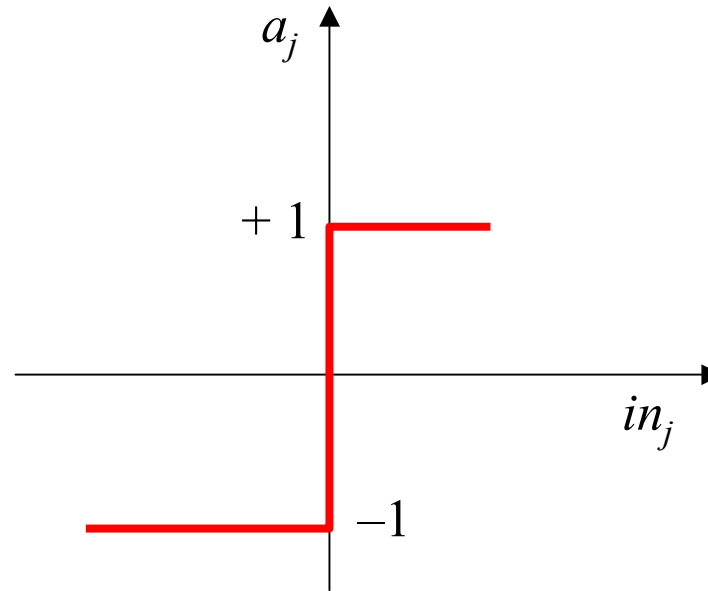
$$in_j = \sum_{i=0}^n w_{ij} a_i$$

$$a_j = g(in_j) = g\left(\sum_{i=0}^n w_{ij} a_i\right)$$

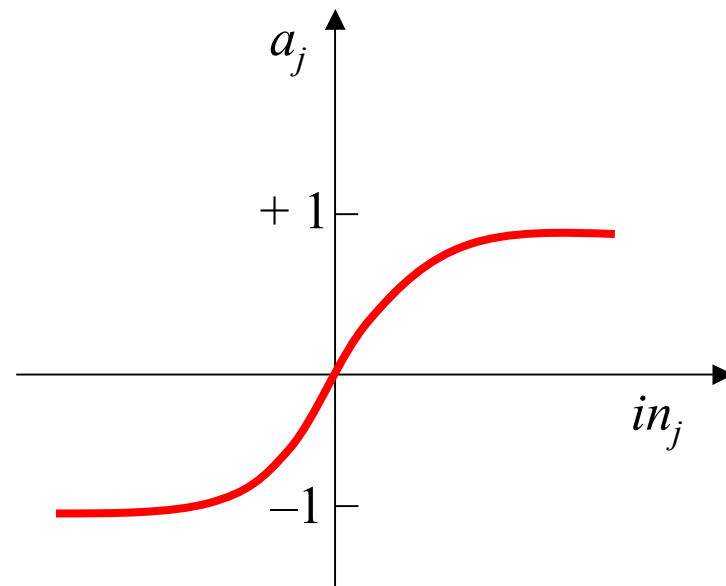
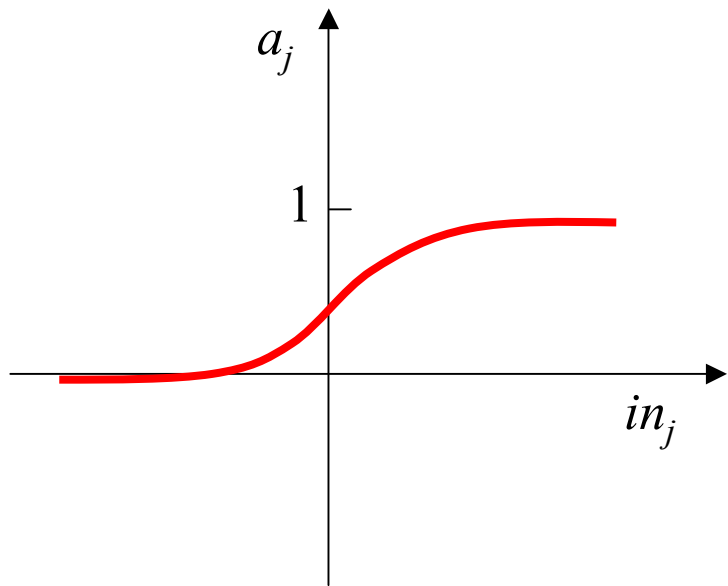
Funções de ativação



$$Threshold_{\theta}(x) = \begin{cases} 1 & x \geq \theta \\ 0 & x < \theta \end{cases}$$

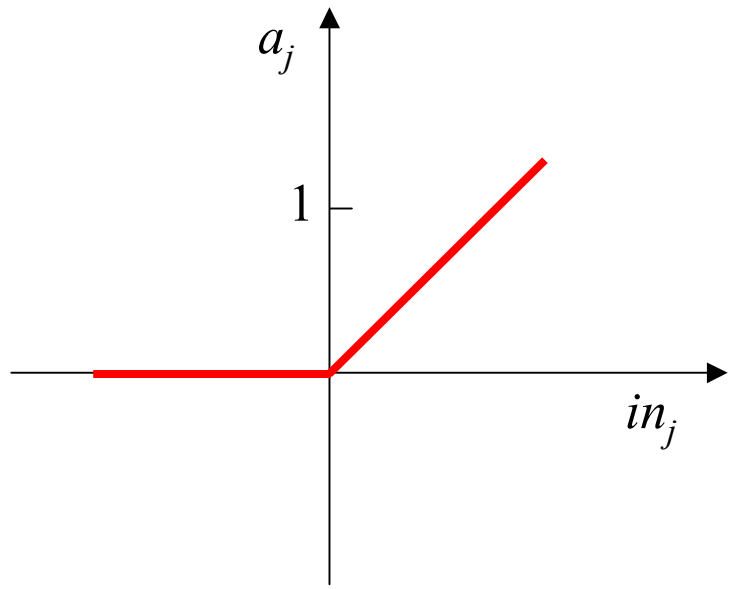


$$Sign(x) = \begin{cases} +1 & x \geq 0 \\ -1 & x < 0 \end{cases}$$

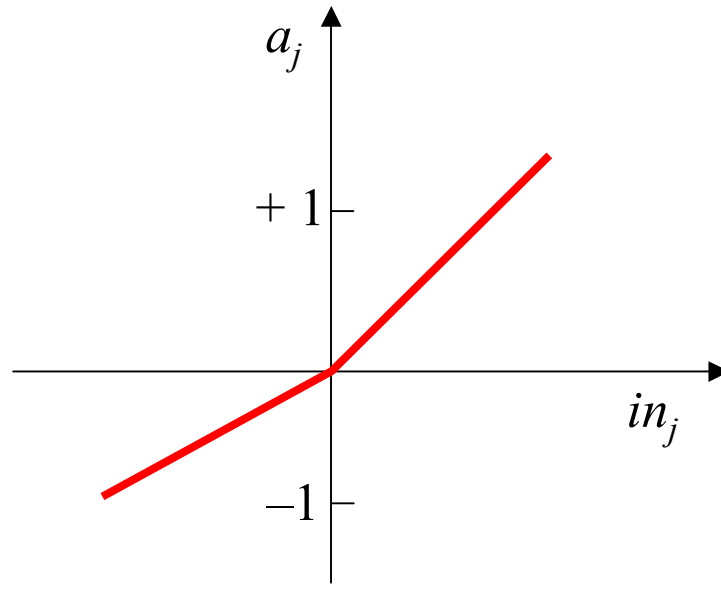


$$Logistic(x) = \frac{1}{1 + e^{-x}}$$

$$Tanh(x) = \frac{e^x - e^{-x}}{e^x + e^{-x}}$$

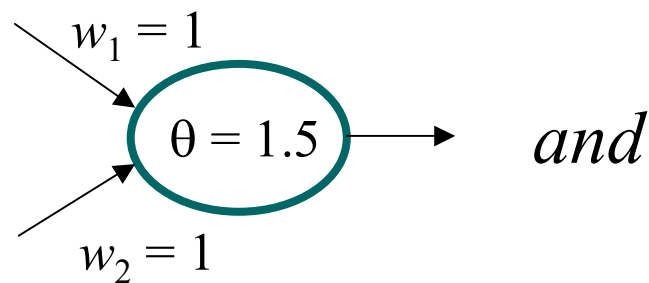


$$ReLU(x) = \max \{0, x\}$$

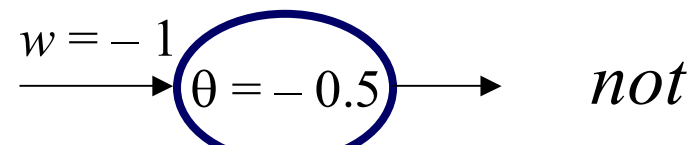


$$PReLU(x) = \begin{cases} x & x \geq 0 \\ \alpha x & x < 0 \end{cases}$$

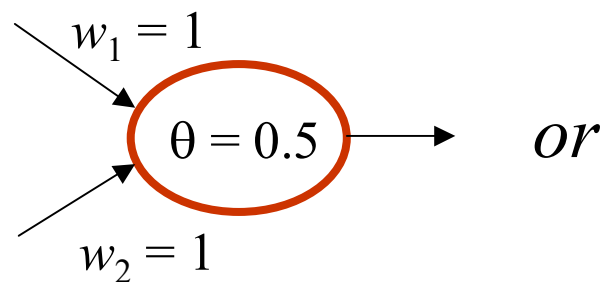
Exemplo: funções lógicas



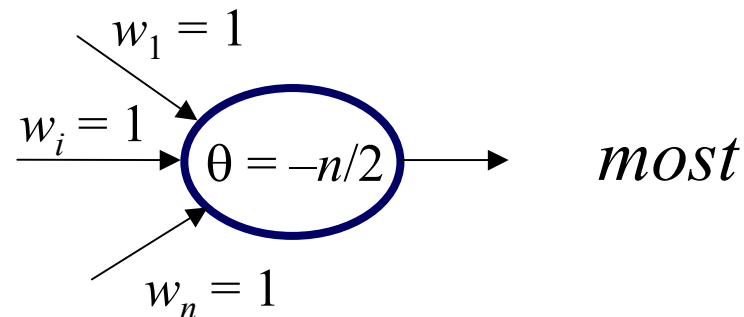
and



not

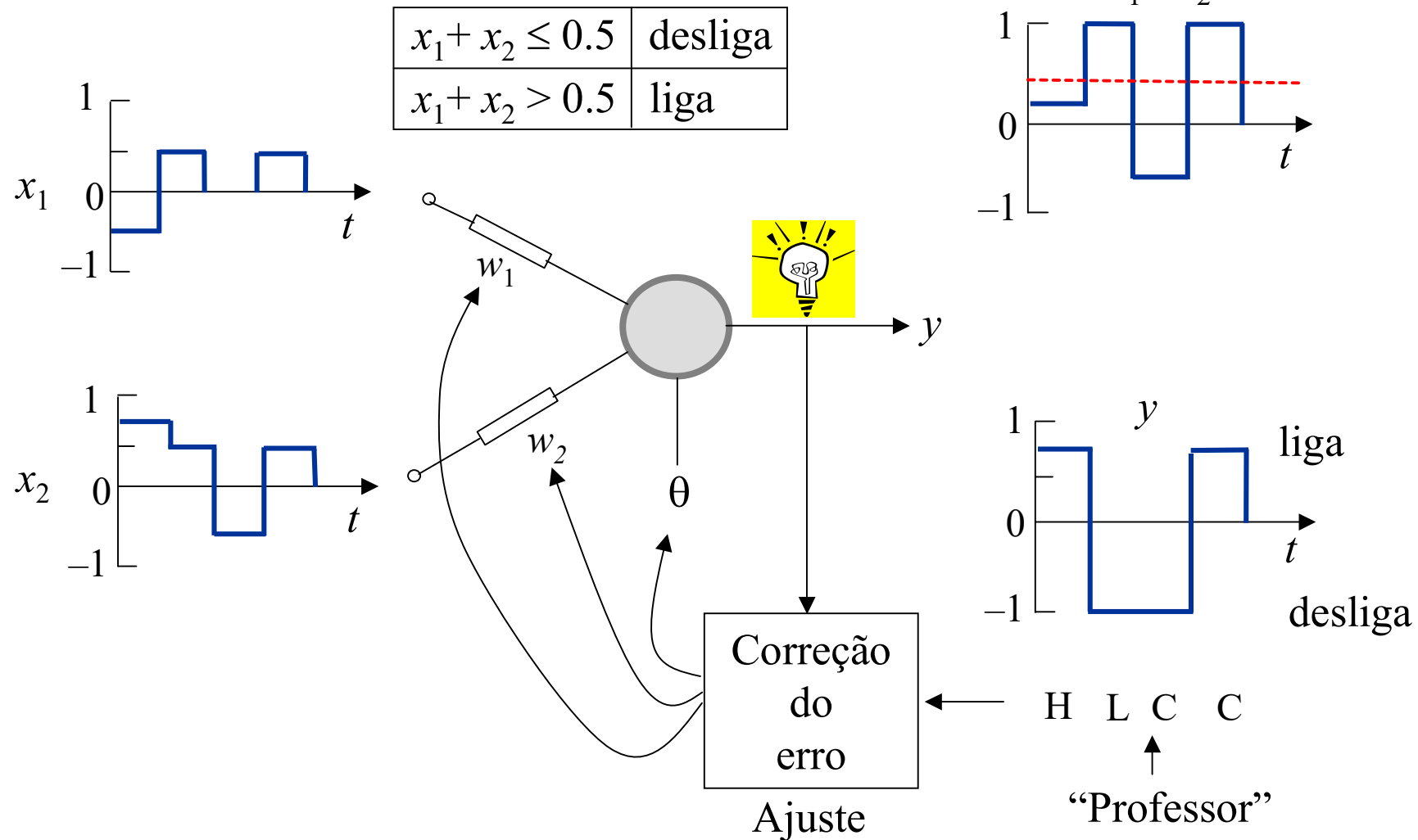


or

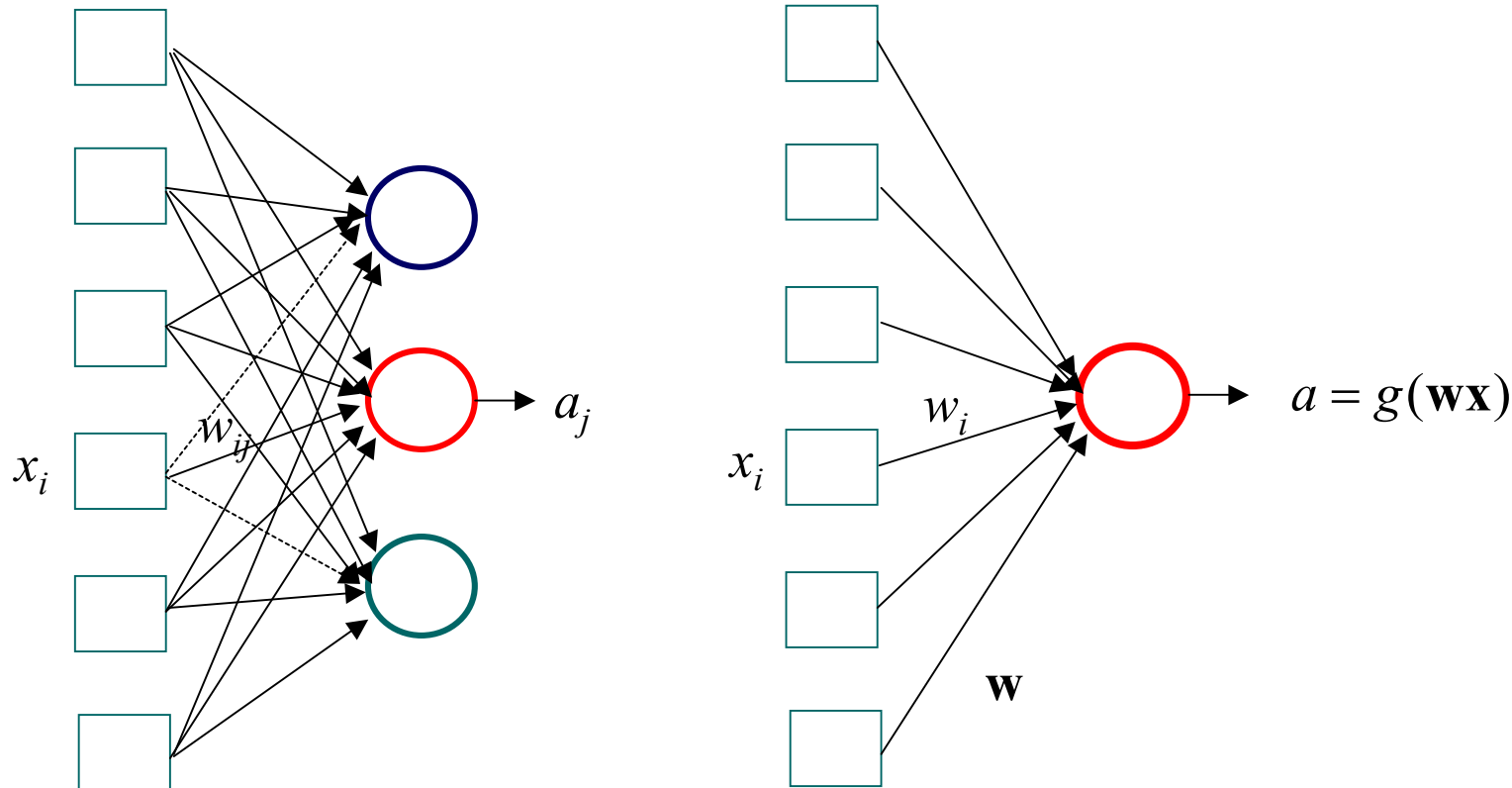


most

Aprendizagem supervisionada de um neurônio



Perceptron



$$g(x) = \text{Threshold}_0(x) = \begin{cases} 1 & x \geq 0 \\ 0 & x < 0 \end{cases}$$

Aprendizagem supervisionada

```
function NEURAL-NETWORK-LEARNING (examples) return a network  
inputs: examples, a set of examples, pairs of input/output values  $e = (\mathbf{x}, y)$   
    network  $\leftarrow$  a neural network with randomly assigned weights  
  
repeat  
    for each e in examples do  
        o  $\leftarrow$  NEURAL-NETWORK-OUTPUT (network, x)  
        y  $\leftarrow$  the corresponding output values from e  
        update the weights in network based on e, o, and y  
    end  
until stopping criterion is reached  
return network
```

Aprendizagem do perceptron

$$e = (\mathbf{x}, y)$$

$$w_i \leftarrow w_i + \alpha (y - g(\mathbf{wx}))x_i$$

$\alpha > 0$ taxa de aprendizagem

- se $y = g(\mathbf{wx})$ então pesos não mudam
- se $y = 1$ e $g(\mathbf{wx}) = 0$ então w_i aumenta se $x_i > 0$ e diminui se $x_i < 0$
 \mathbf{wx} aumentar significa tentar fazer $g(\mathbf{wx}) = 1$
- se $y = 0$ e $g(\mathbf{wx}) = 1$ então w_i diminui se $x_i > 0$ e aumenta se $x_i < 0$
 \mathbf{wx} diminuir significa tentar fazer $g(\mathbf{wx}) = 0$

function PERCEPTRON-LEARNING (*examples*, *network*) **returns** a perceptron
inputs: *network*, a perceptron network with weight $\mathbf{w} = (w_1, \dots, w_n)$
examples, a set of input/output pairs $e = (\mathbf{x}, y) = ((x_1, \dots, x_n), y)$
 α , learning rate; activation function g

repeat
 for each *e* in *examples* **do**

$$in \leftarrow \sum_i (w_i x_i)$$

$$err \leftarrow y - g(in)$$

$$\mathbf{w} \leftarrow \mathbf{w} + \alpha(y - g(in))\mathbf{x}$$

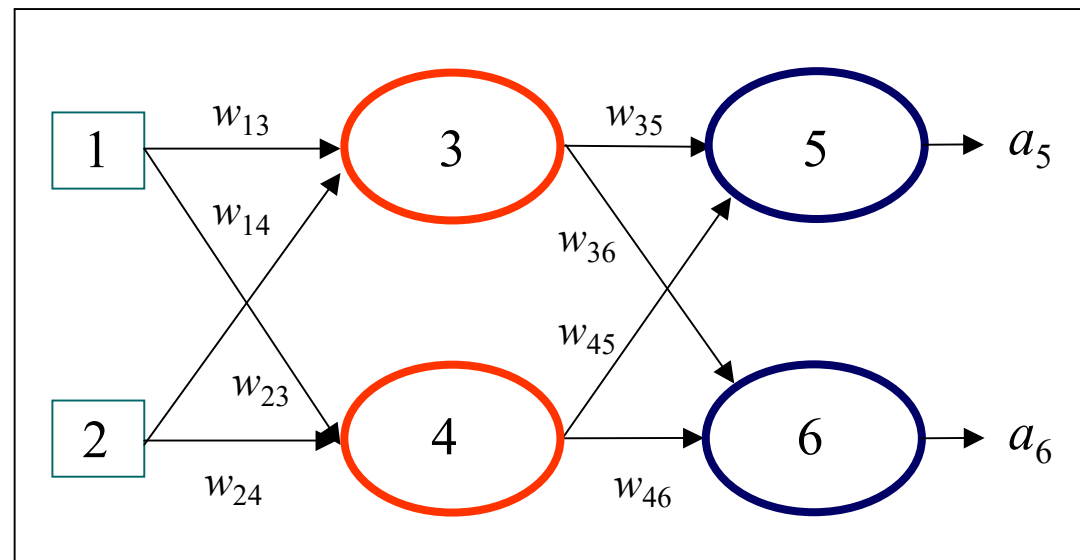
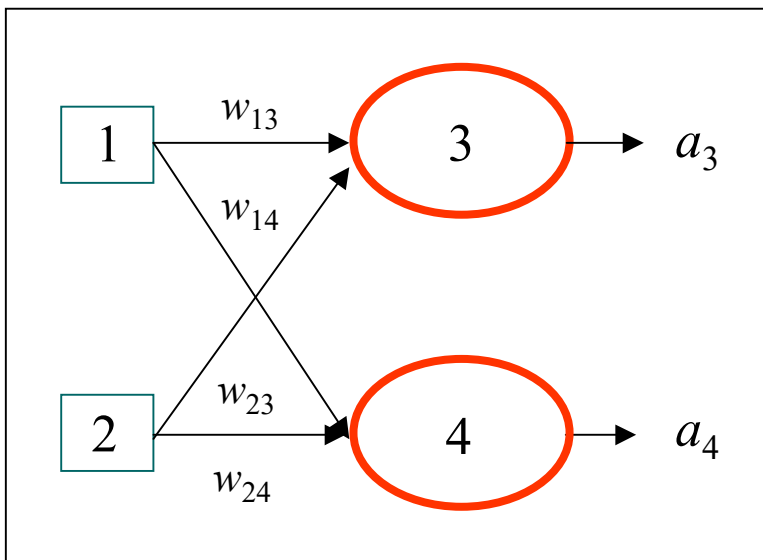
until some stopping criterion is satisfied
 return *network*

Exemplo: somador de dois bits

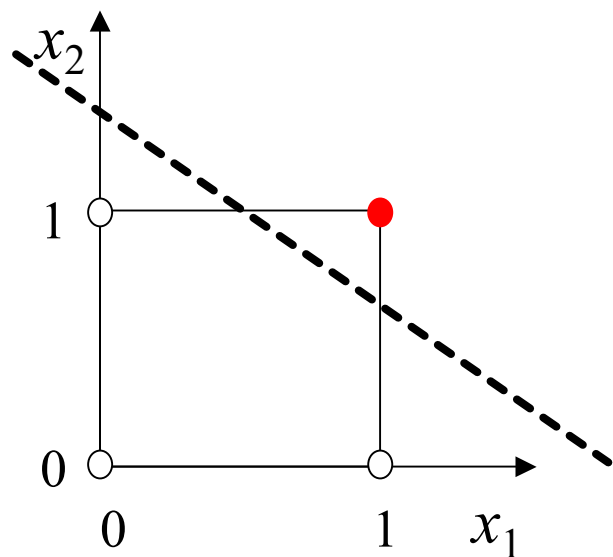
x_1	x_2	$y_3(carry)$	$y_4(soma)$
0	0	0	0
0	1	0	1
1	0	0	1
1	1	1	0

$$x_1 \text{ and } x_2 \quad x_1 \text{ xor } x_2$$

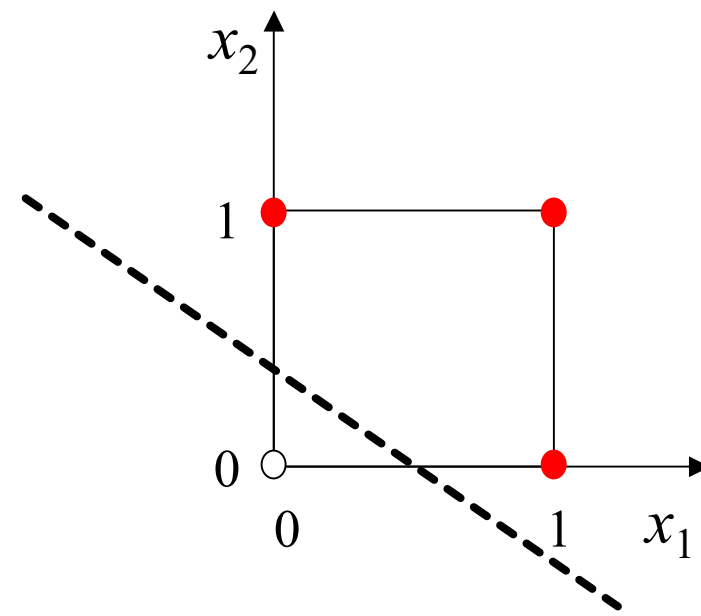
Redes estáticas (*feedforward*)



Classes linearmente separáveis

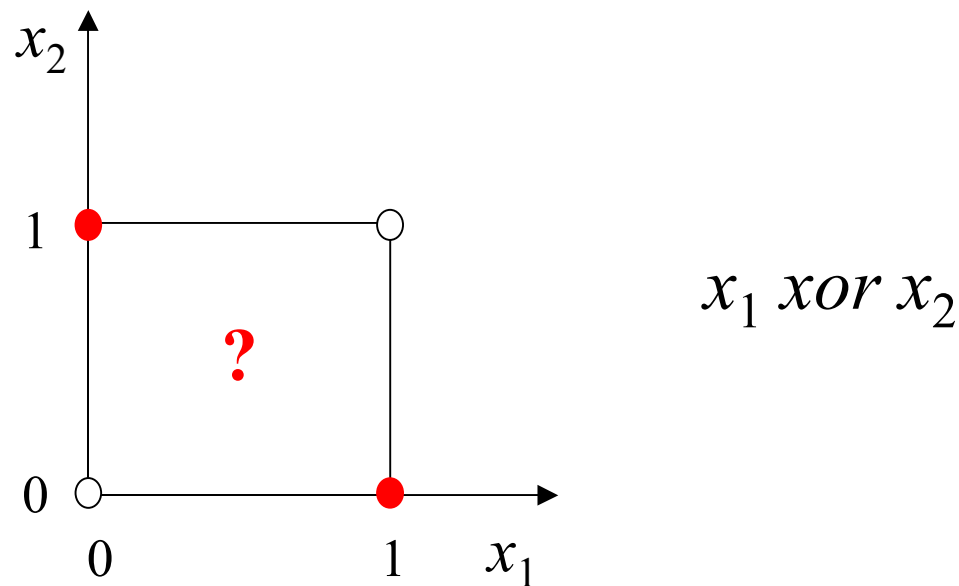


x_1 and x_2

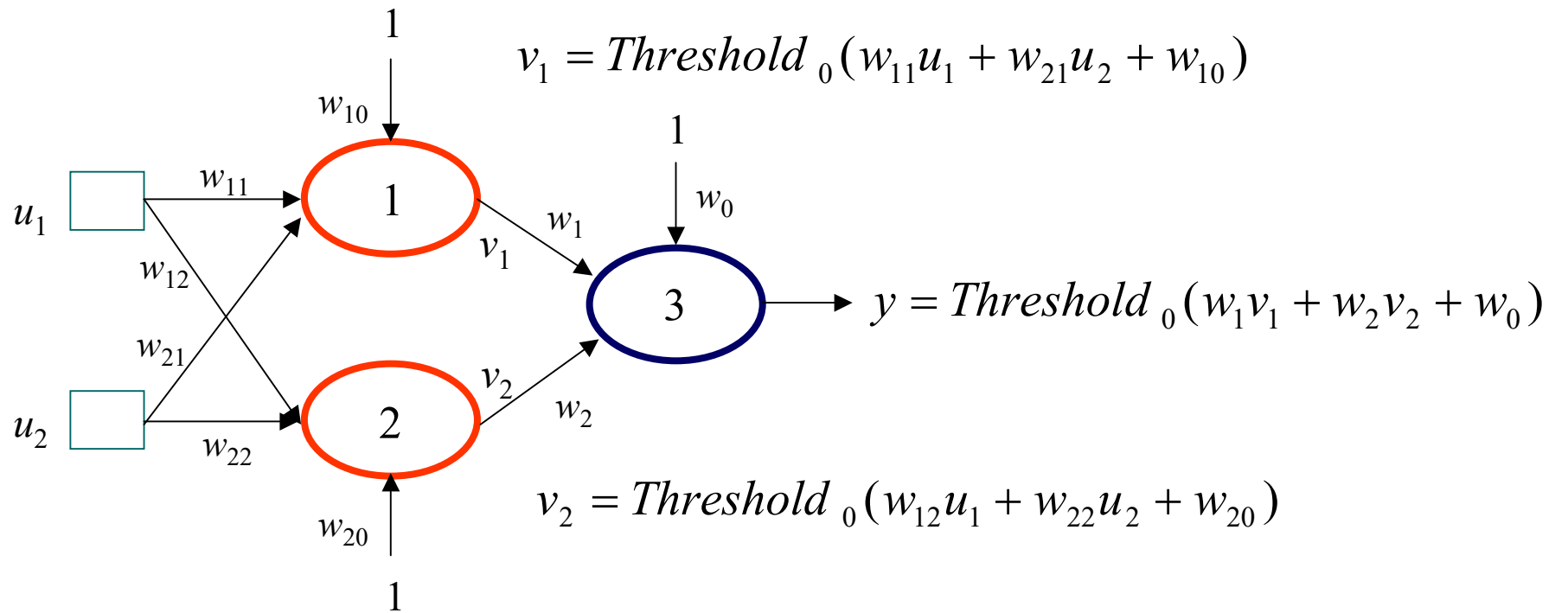


x_1 or x_2

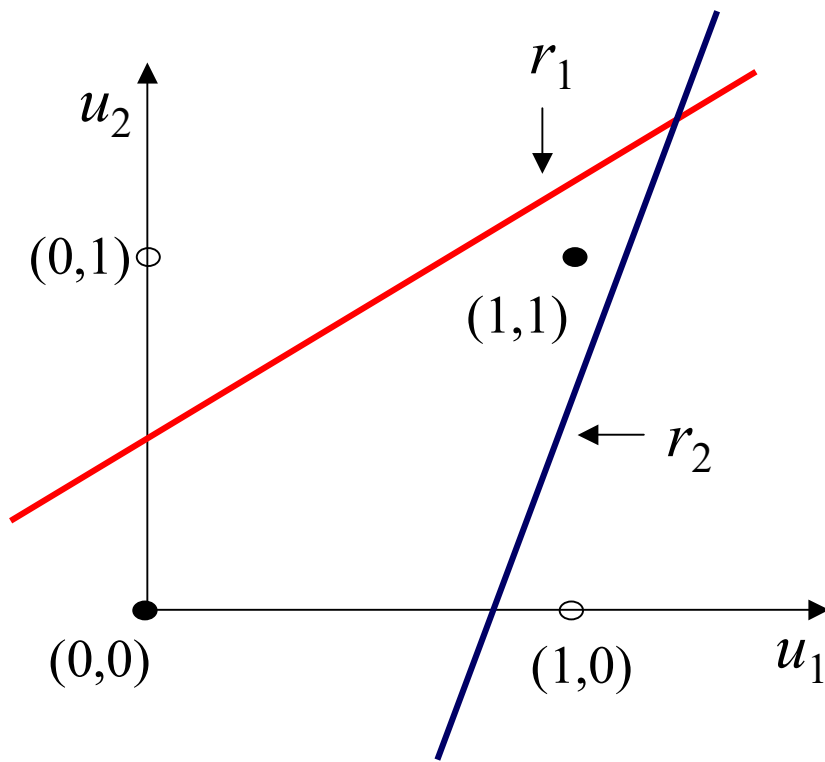
Classe não linearmente separáveis



Redes multicamadas estáticas e separabilidade



$$u_1 \text{ } xor \text{ } u_2 \rightarrow y = \begin{cases} 1 & u = (0,0), (1,1) \\ 0 & u = (0,1), (1,0) \end{cases} \quad u = (u_1, u_2)$$



$$1 - \exists w_{11}, w_{21}, w_{10} \quad (r_1)$$

$$u = (0,1) \Rightarrow v_1 = 1$$

$$u = (0,0), (1,0), (1,1) \Rightarrow v_1 = 0$$

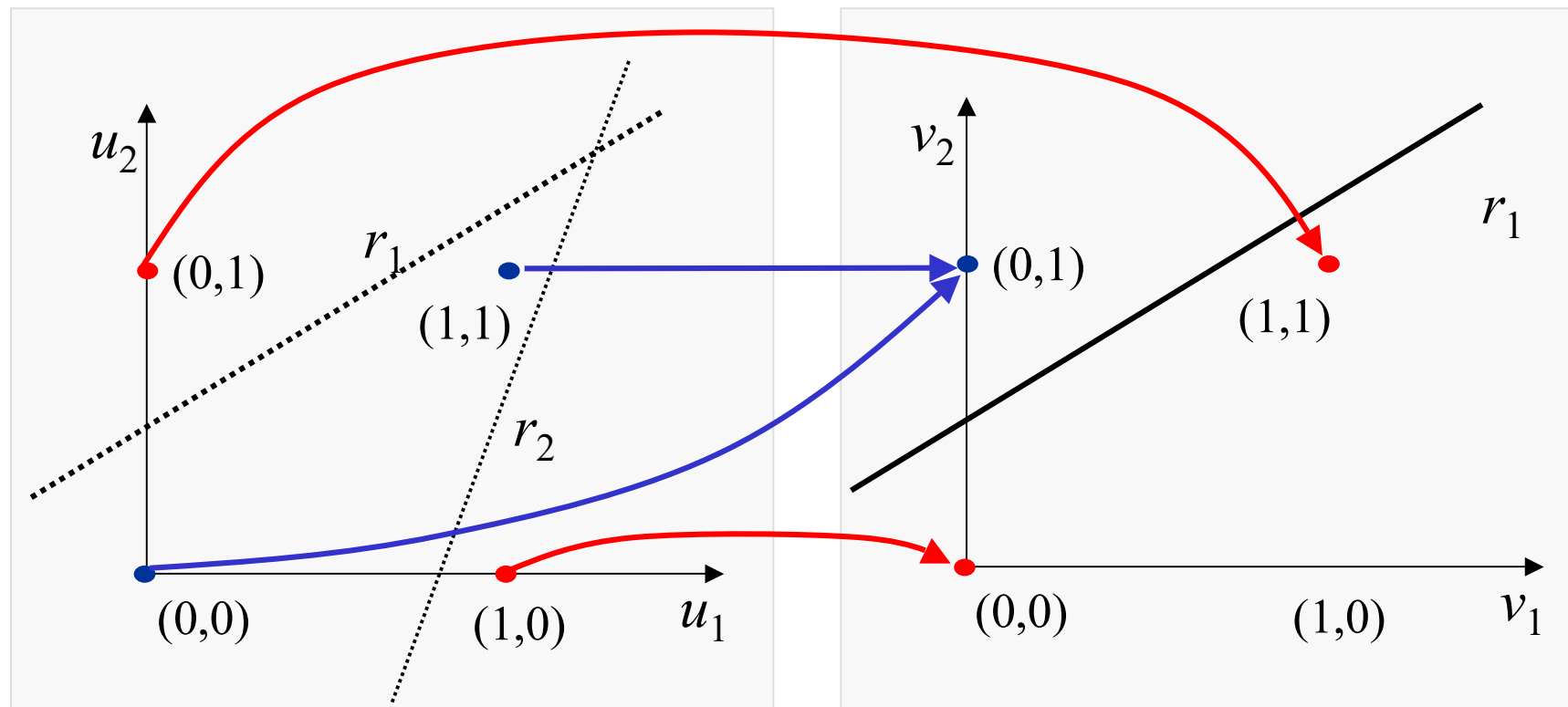
$$2 - \exists w_{12}, w_{22}, w_{20} \quad (r_2)$$

$$u = (1,0) \Rightarrow v_2 = 0$$

$$u = (0,1), (0,0), (1,1) \Rightarrow v_2 = 1$$

$3 - \exists w_{ij}$ tal que

$$u = (0,1) \Rightarrow \begin{cases} v_1 = 1 \\ v_2 = 1 \end{cases} \quad u = (1,0) \Rightarrow \begin{cases} v_1 = 0 \\ v_2 = 0 \end{cases} \quad u = (0,0);(1,1) \Rightarrow \begin{cases} v_1 = 0 \\ v_2 = 1 \end{cases}$$



Transformação não linear do espaço de entrada \rightarrow padrões separáveis

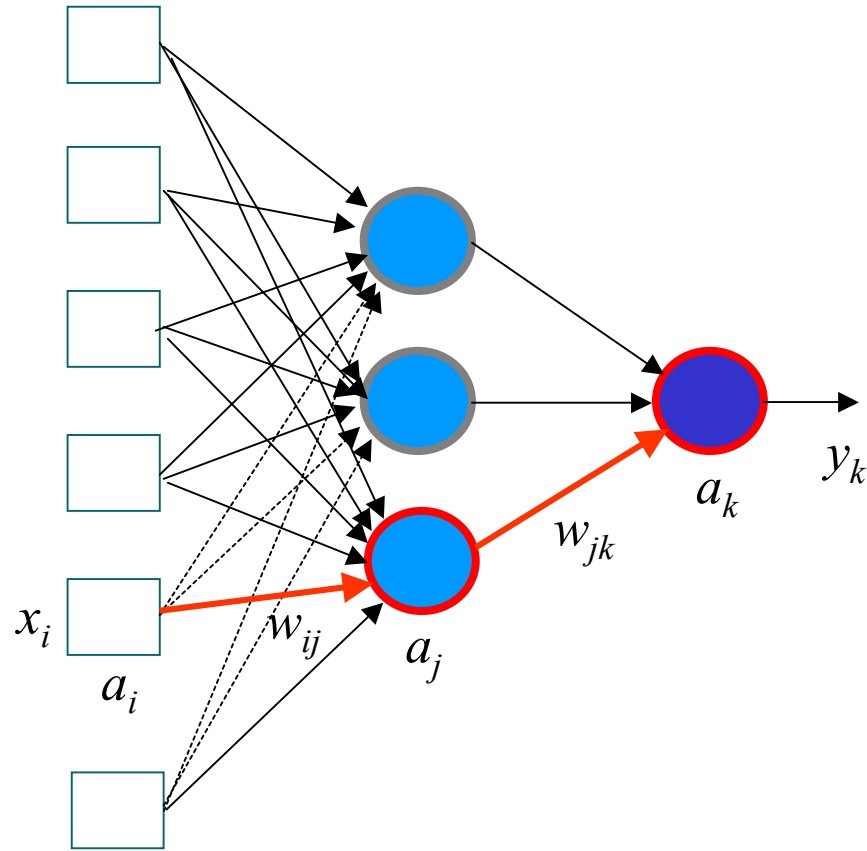
Aprendizagem com retropropagação do erro

$$\min_{\mathbf{w}} Loss(\mathbf{w})$$

$$Loss(\mathbf{w}) = \frac{1}{2} | \mathbf{y} - \mathbf{h}_{\mathbf{w}}(\mathbf{x}) |^2 = \frac{1}{2} \sum_k (y_k - a_k)^2$$

- aprendizagem: problema de otimização não linear irrestrito
- variáveis de decisão: pesos da rede neural
- solução: algoritmo do gradiente e variações
 - primeiro camada de saída
 - depois camadas intermediárias
 - camada de saída → camada de entrada

Retropropagação do erro



$$w_{jk} \leftarrow w_{jk} + \alpha a_j Err_k g'(in_k)$$

$$\Delta_k = Err_k g'(in_k)$$

$$w_{jk} \leftarrow w_{jk} + \alpha a_j \Delta_k$$

$$\Delta_j = g'(in_j) \sum_k w_{jk} \Delta_k$$

$$w_{ij} \leftarrow w_{ij} + \alpha a_i \Delta_j$$

function BACK-PROP-LEARNING (*examples, network*) **returns** a neural net

inputs: *network*, a multilayer network wit L layers, weights w_{ij}
examples, a set of input and output pairs of vectors (\mathbf{x}, \mathbf{y})
 α , learning rate; activation function g

local variables: Δ , a vector of errors indexed by network node

repeat

for each weight w_{ij} in *network* **do** $w_{ij} \leftarrow$ a small random number
 for each example (\mathbf{x}, \mathbf{y}) in *examples* **do**

for each node i in the input layer **do** $a_i \leftarrow x_i$

for $l = 2$ **to** L **do**

for each node j in layer l **do**

$in_j \leftarrow \sum_i w_{ij} a_i$ and $a_j \leftarrow g(in_j)$

for each node j in the output layer **do** $\Delta_j \leftarrow g'(in_j) (y_j - a_j)$

for $\ell = L - 1$ **to** 1 **do**

for each node i in layer ℓ **do** $\Delta_i \leftarrow g'(in_i) \sum_j w_{ij} \Delta_j$

for each weight w_{ij} in network **do** $w_{ij} \leftarrow w_{ij} + \alpha a_i \Delta_j$

until some stopping criteria is satisfied

return *network*

Camada de saída

$$\frac{\partial Loss_k}{\partial w_{jk}} = -(y_k - a_k) \frac{\partial a_k}{\partial w_{jk}} = -(y_k - a_k) \frac{\partial g(in_k)}{\partial w_{jk}} =$$

$$= -(y_k - a_k) g'(in_k) \frac{\partial in_k}{\partial w_{jk}} = -(y_k - a_k) g'(in_k) \frac{\partial}{\partial w_{jk}} \left(\sum_j w_{jk} a_j \right)$$

$$= -(y_k - a_k) g'(in_k) a_j = -a_j \Delta_k$$

$$w_{jk} \leftarrow w_{jk} + \alpha a_j \Delta_k$$

Camada de intermediária

$$\begin{aligned}\frac{\partial Loss_k}{\partial w_{ij}} &= -(y_k - a_k) \frac{\partial a_k}{\partial w_{ij}} = -(y_k - a_k) \frac{\partial g(in_k)}{\partial w_{ij}} \\ &= -(y_k - a_k) g'(in_k) \frac{\partial in_k}{\partial w_{ij}} = -\Delta_k \frac{\partial}{\partial w_{ij}} \left(\sum_j w_{jk} a_j \right) \\ &= -\Delta_k w_{jk} \frac{\partial a_j}{\partial w_{ij}} = -\Delta_k w_{jk} \frac{\partial g(in_j)}{\partial w_{ij}} = -\Delta_k w_{jk} g'(in_j) \frac{\partial in_j}{\partial w_{ij}} \\ &= -\Delta_k w_{jk} g'(in_j) \frac{\partial}{\partial w_{ij}} \left(\sum_i w_{ij} a_i \right) = -\Delta_k w_{jk} g'(in_j) a_i \\ \frac{\partial Loss(\mathbf{w})}{\partial w_{ij}} &= \sum_k \frac{\partial Loss_k}{\partial w_{ij}} = -\sum_k \Delta_k w_{jk} g'(in_j) a_i = -a_i \Delta_j\end{aligned}$$

$$w_{ij} \leftarrow w_{ij} + \alpha a_i \Delta_j$$

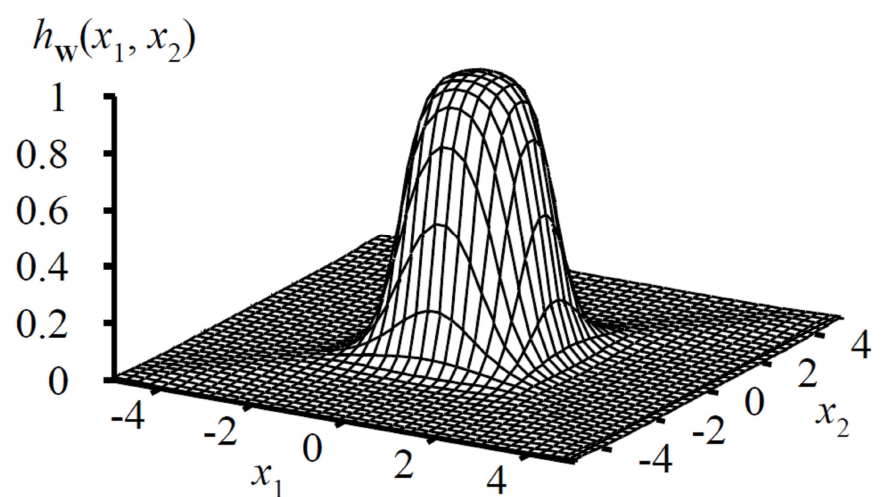
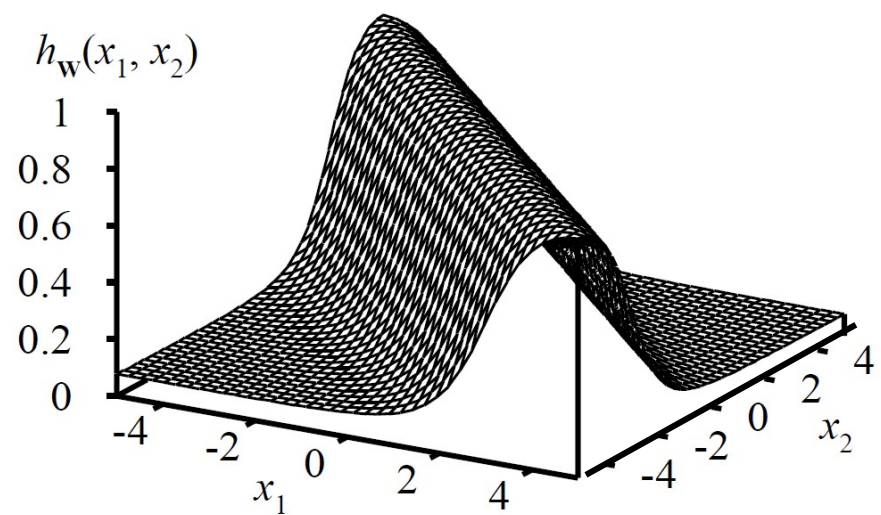
Redes multicamadas estáticas e aproximação

Se g é uma função contínua, monotonicamente crescente e limitada, então existe um inteiro M e números reais α_i, θ_i e w_{ij} , $i = 1, \dots, M$, $j = 1, \dots, n$ tal que

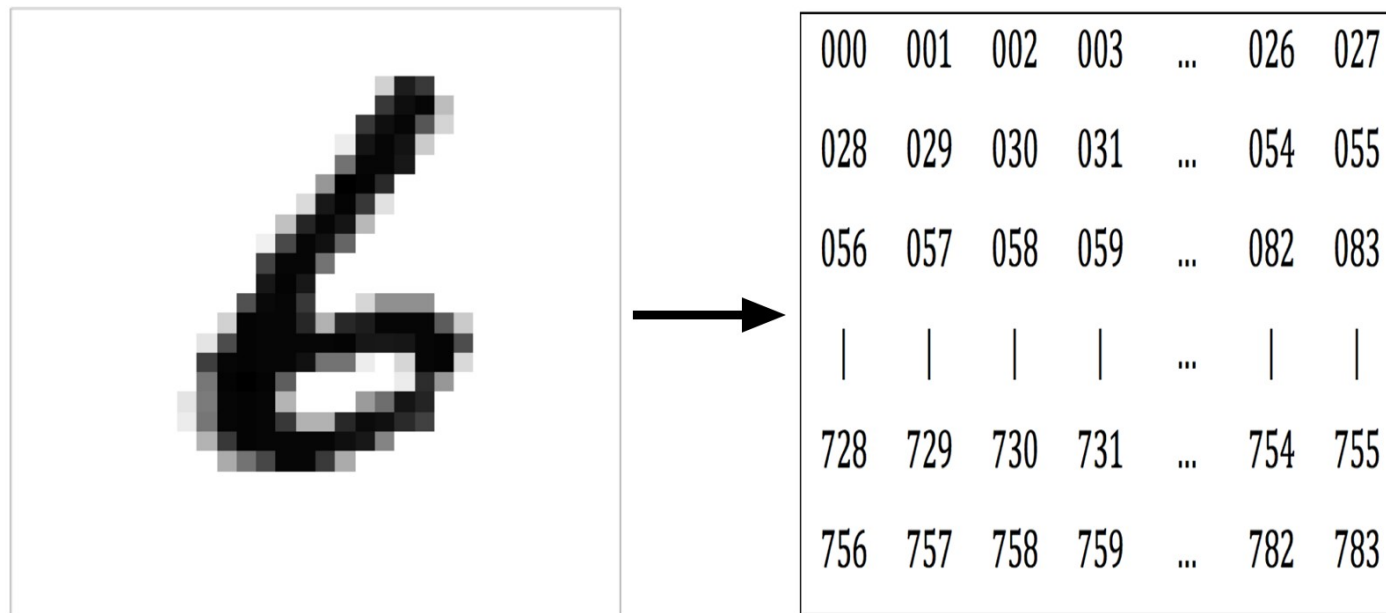
$$F(x_1, \dots, x_n) = \sum_{i=1}^M \alpha_i g\left(\sum_{j=1}^n w_{ij} x_j - \theta_i \right)$$

é uma aproximação de uma função contínua f em um domínio compacto S , isto é, existe $\varepsilon > 0$ tal que

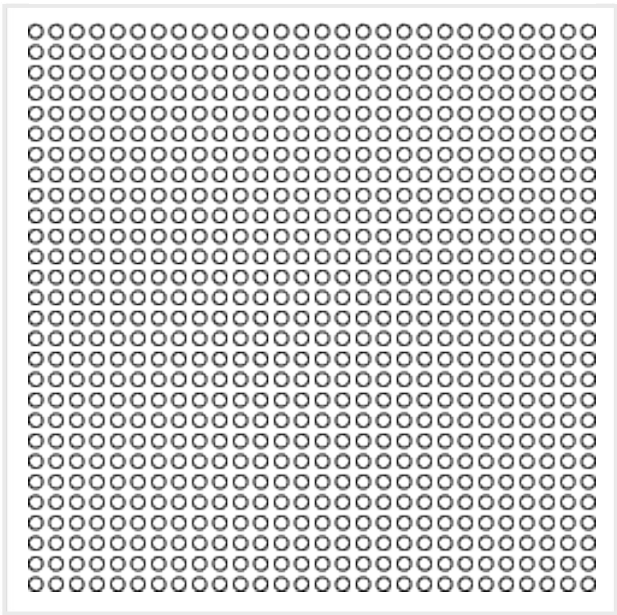
$$|F(x_1, \dots, x_n) - f(x_1, \dots, x_n)| < \varepsilon, \quad \forall x \in S \subseteq R^n$$



Redes neurais profundas



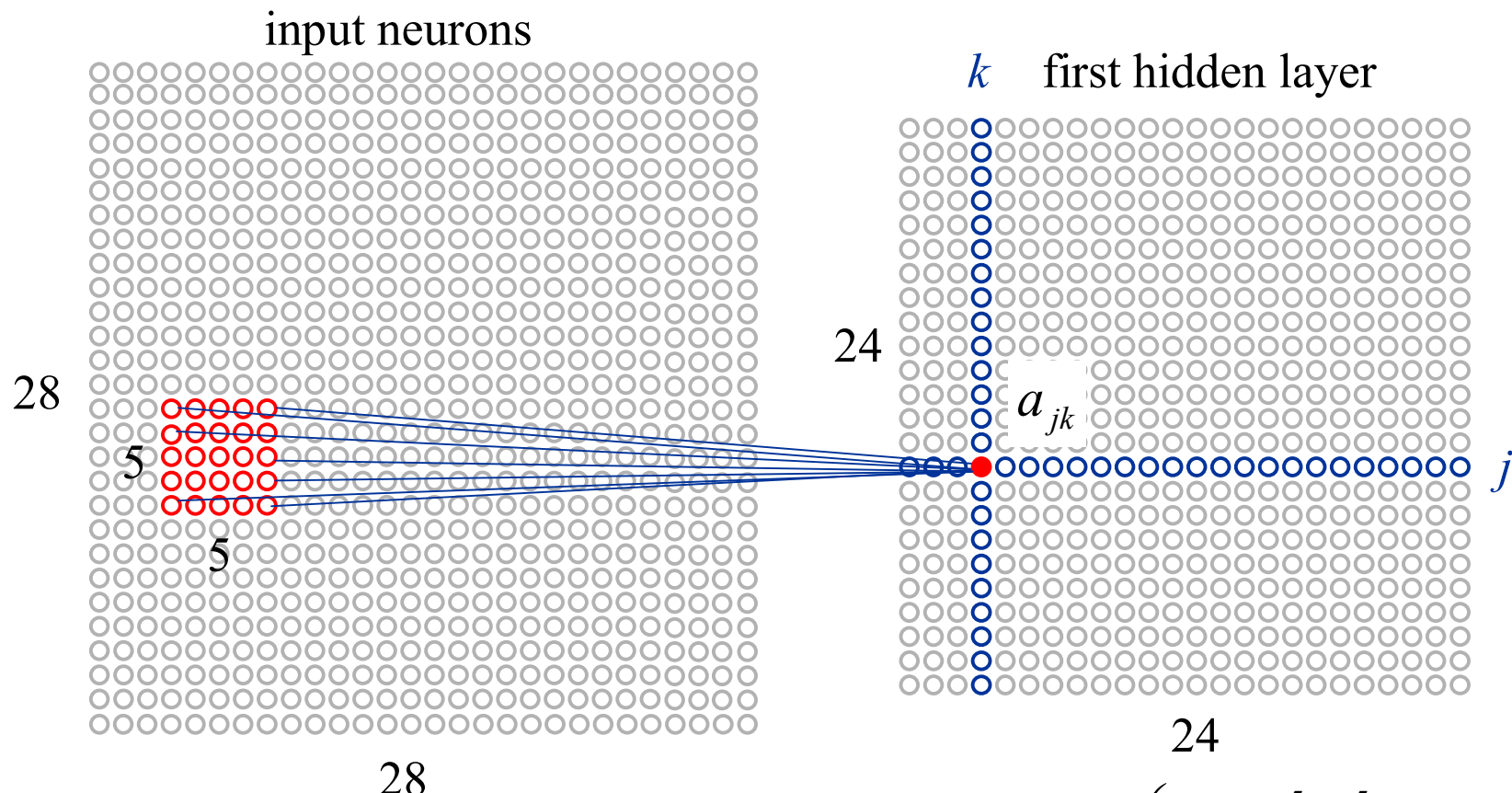
28



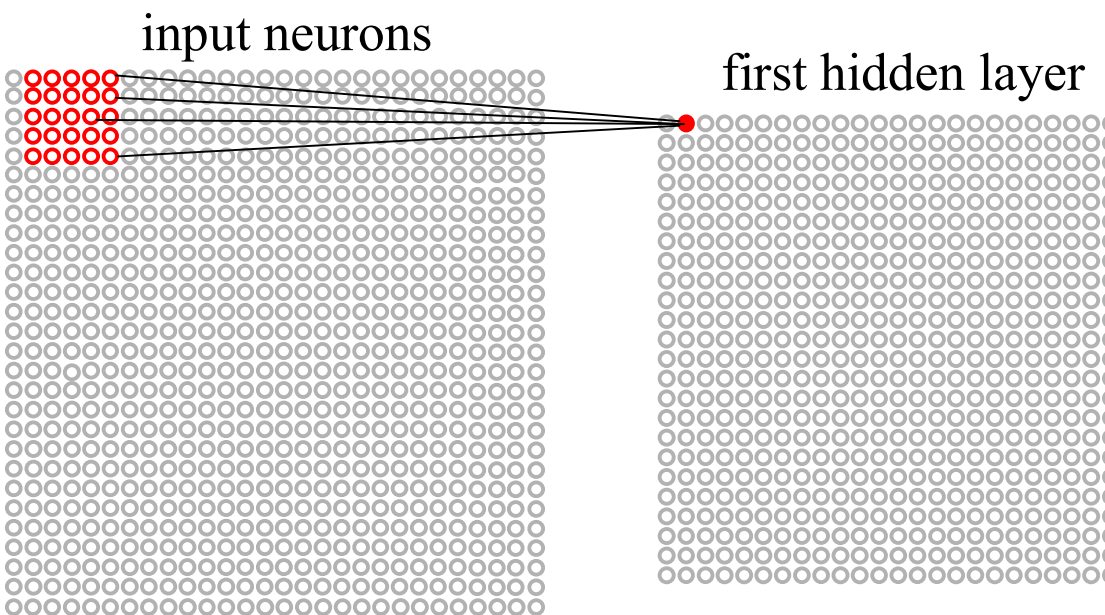
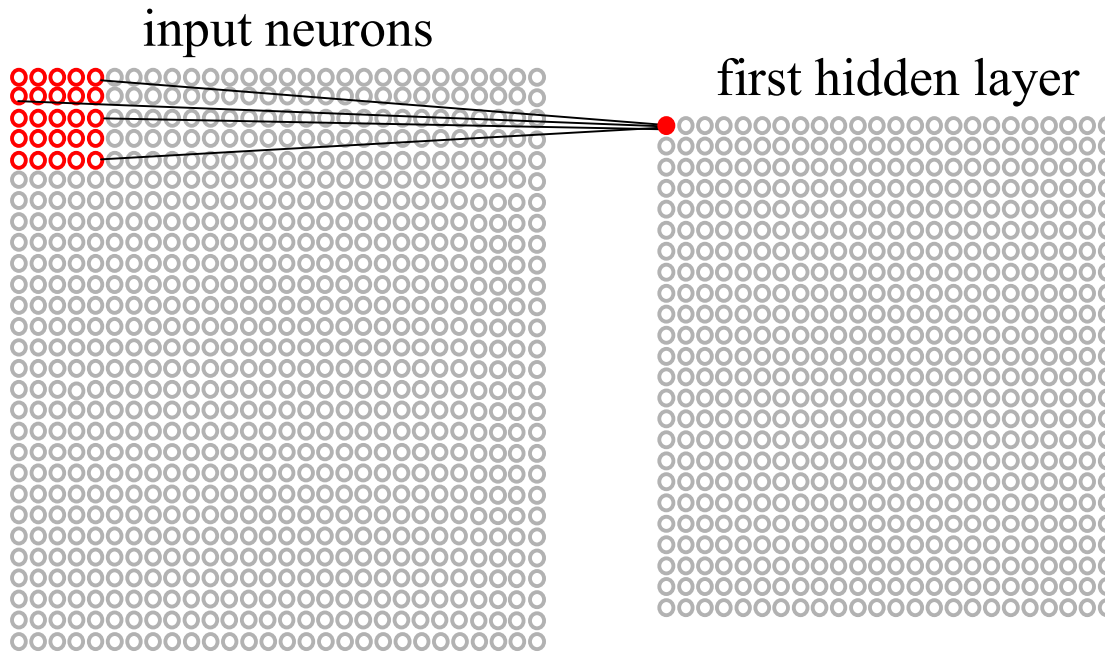
000	001	002	003	...	026	027
028	029	030	031	...	054	055
056	057	058	059	...	082	083
				...		
728	729	730	731	...	754	755
756	757	758	759	...	782	783

28

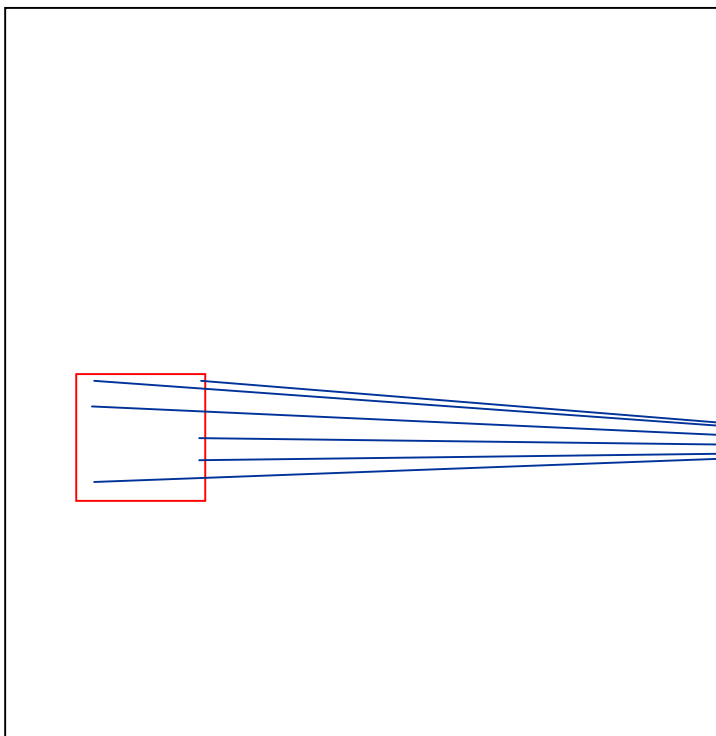
Local receptive field



$$a_{jk} = g(in_{jk}) = g\left(a_0 + \sum_{l=1}^5 \sum_{m=1}^5 w_{lm} a_{j+l, k+m}\right)$$

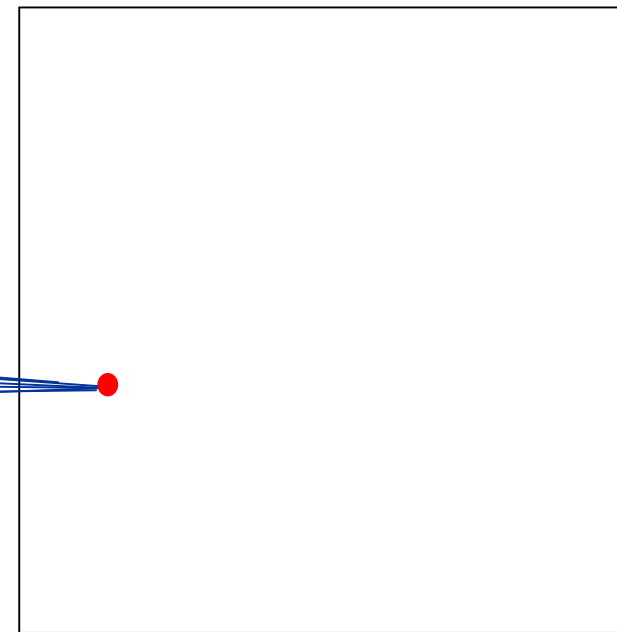


camada entrada



camada intermediária

shared
weights



→
feature map

shared weights \Rightarrow kernel/filter

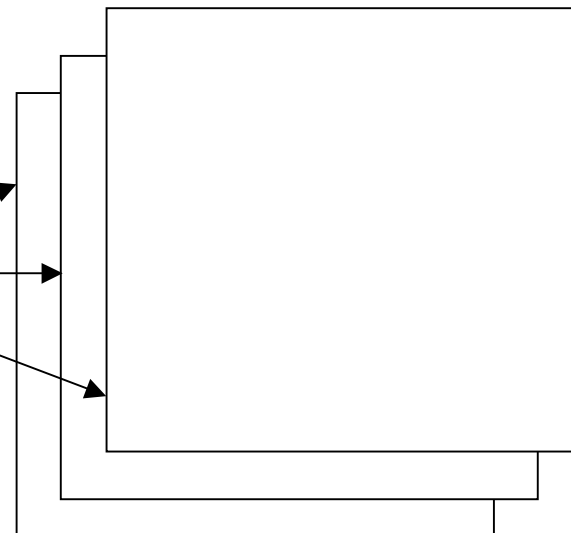
Convolution layer

camada de entrada



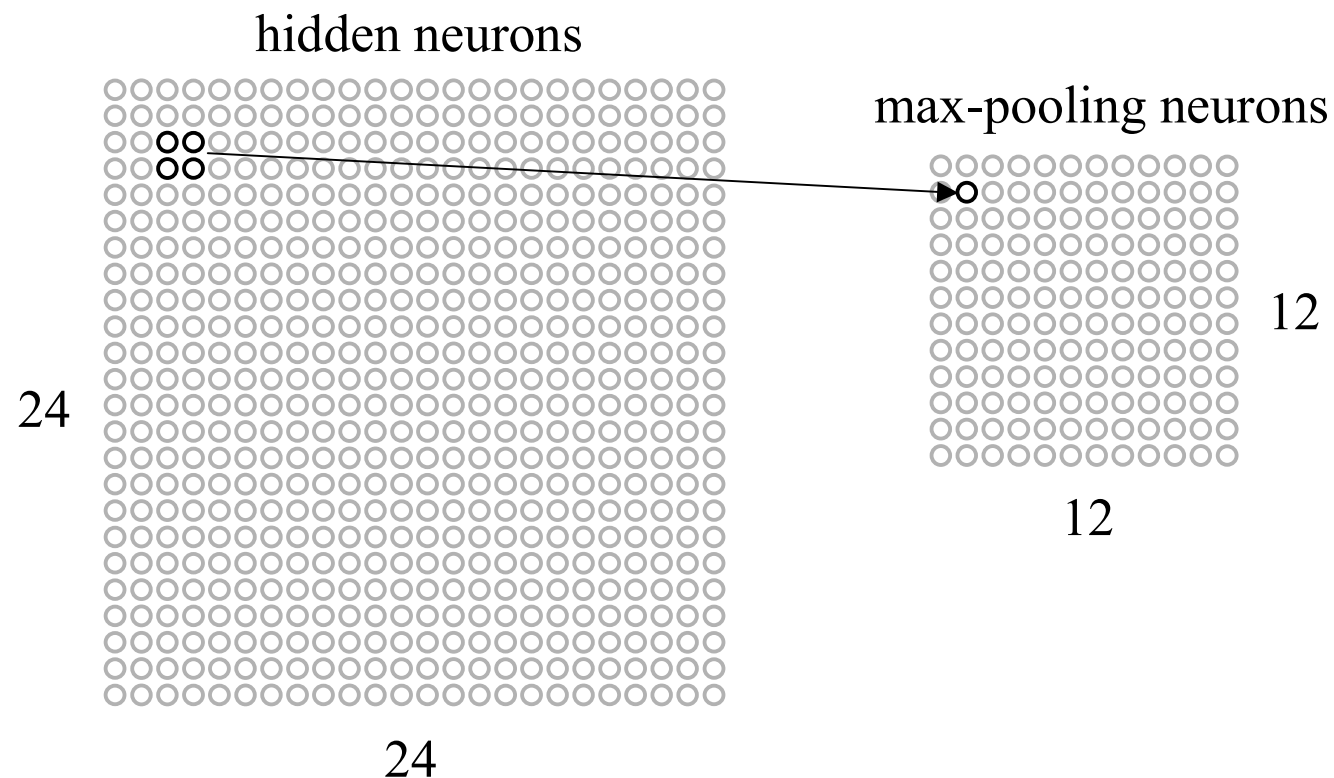
28×28 input neurons

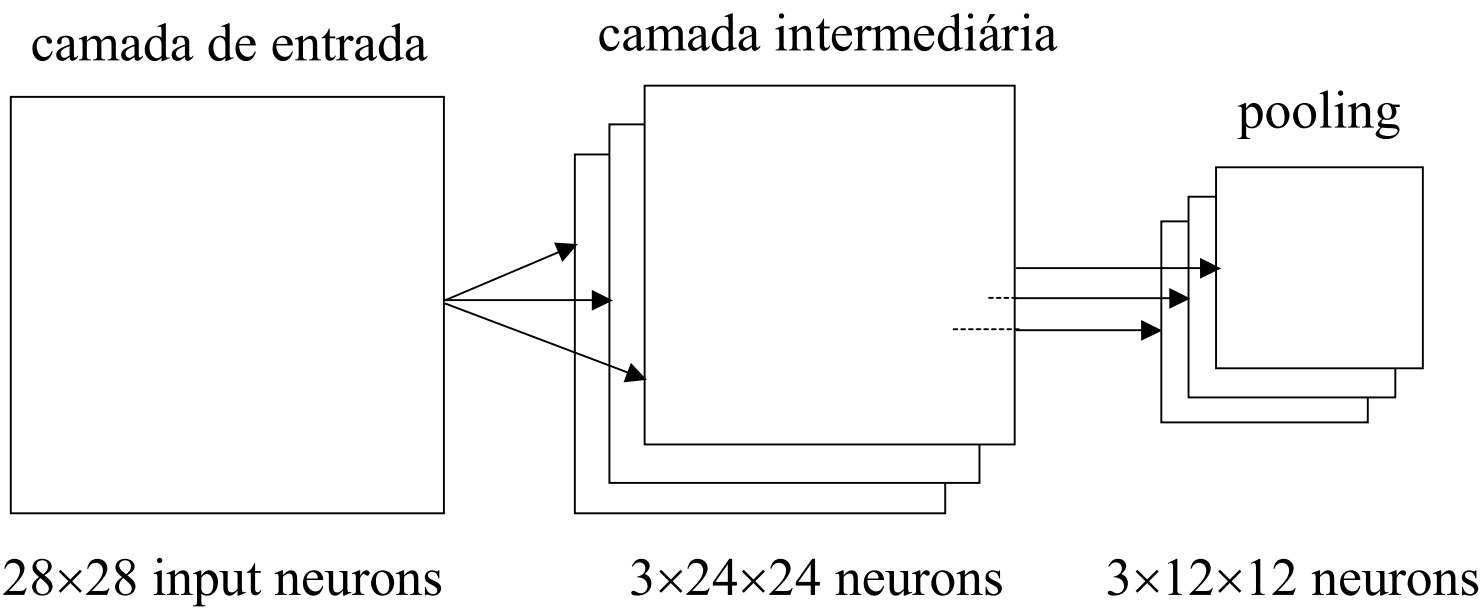
camada intermediária



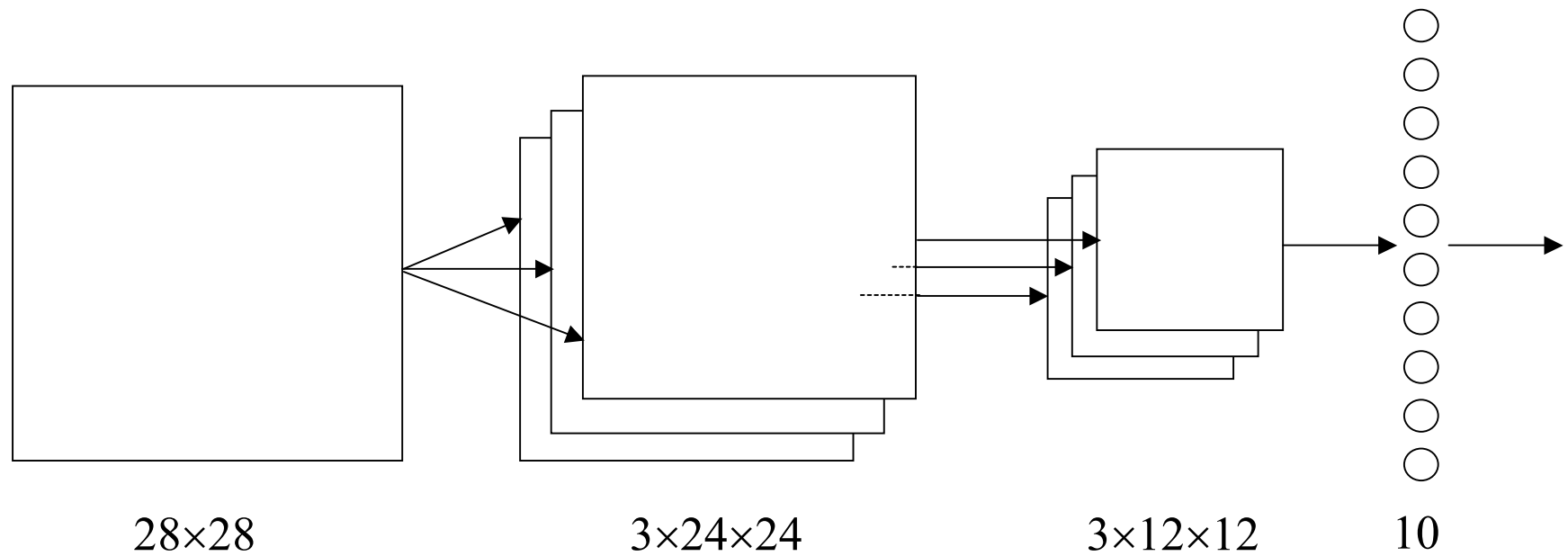
$3 \times 24 \times 24$ neurons

Pooling



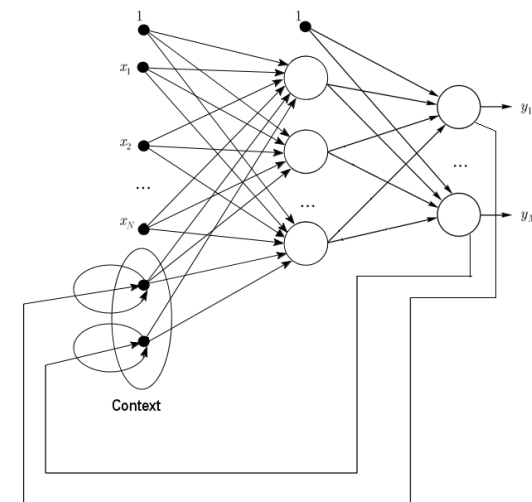
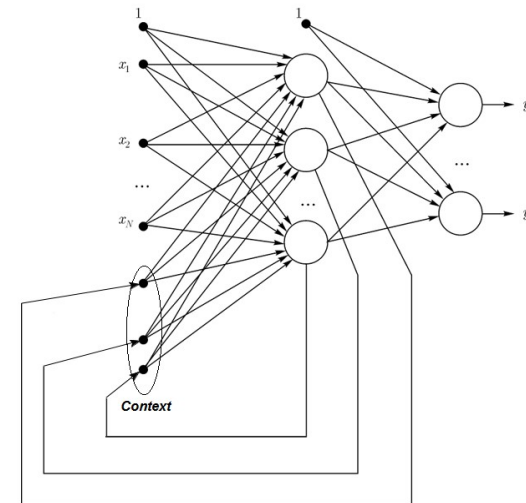
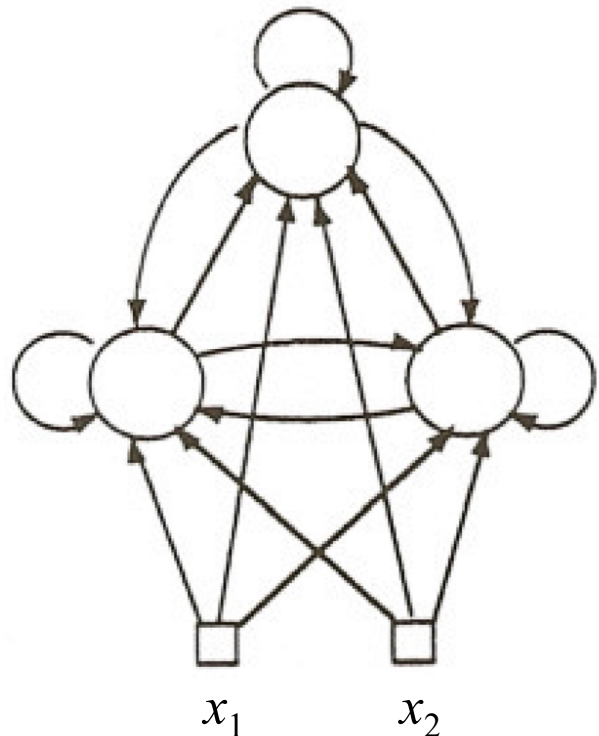


Rede convolucional

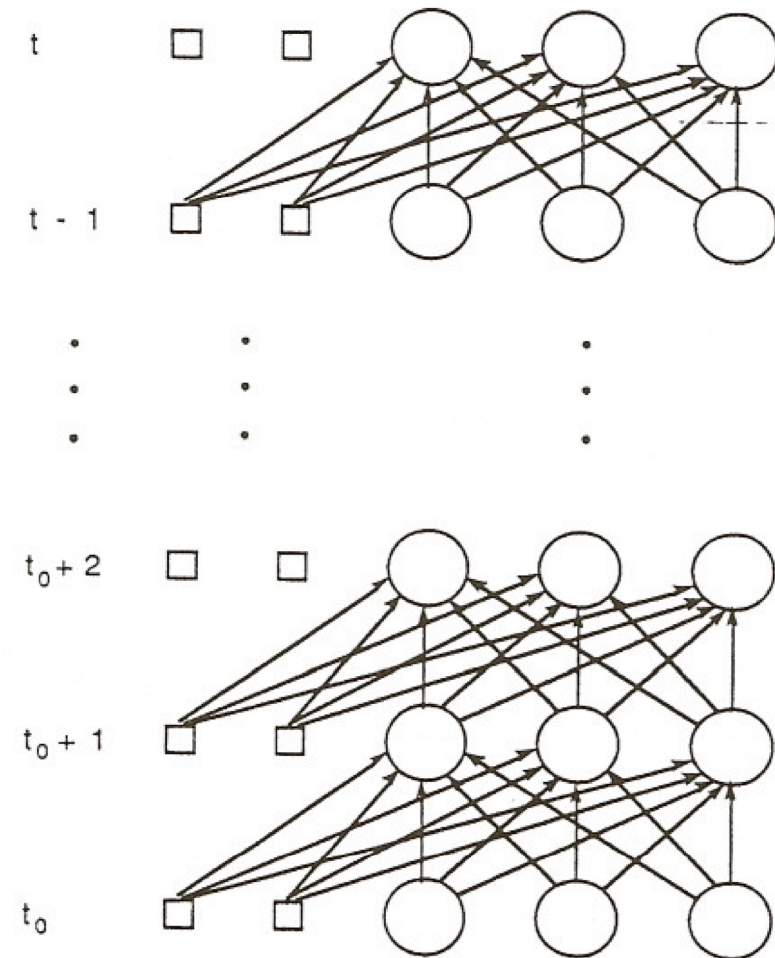
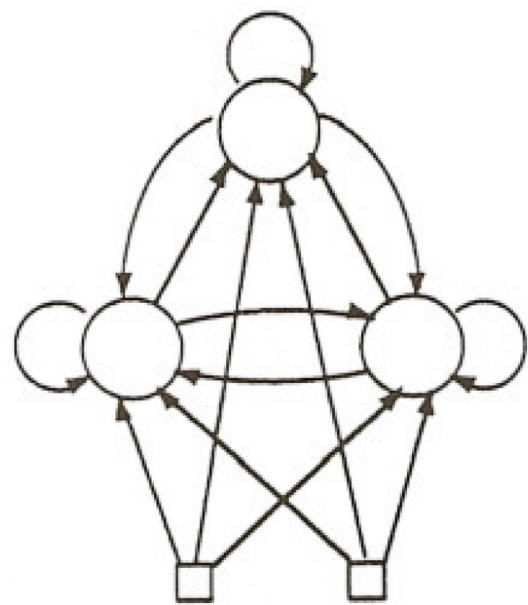


<https://software.intel.com/en-us/neural-compute-stick>

Redes neurais recorrentes



Desdobramento no tempo



N pares de dados de treinamento

$$(x(t_0), y(t_0)), (x(t_1), y(t_1)), \dots, (x(t_T), y(t_T))$$

$$A = \{k, \text{ valor desejado de } a_k \text{ é especificado}\}$$



$$\min_{\mathbf{w}} Loss(\mathbf{w}, [t_o, t_T])$$

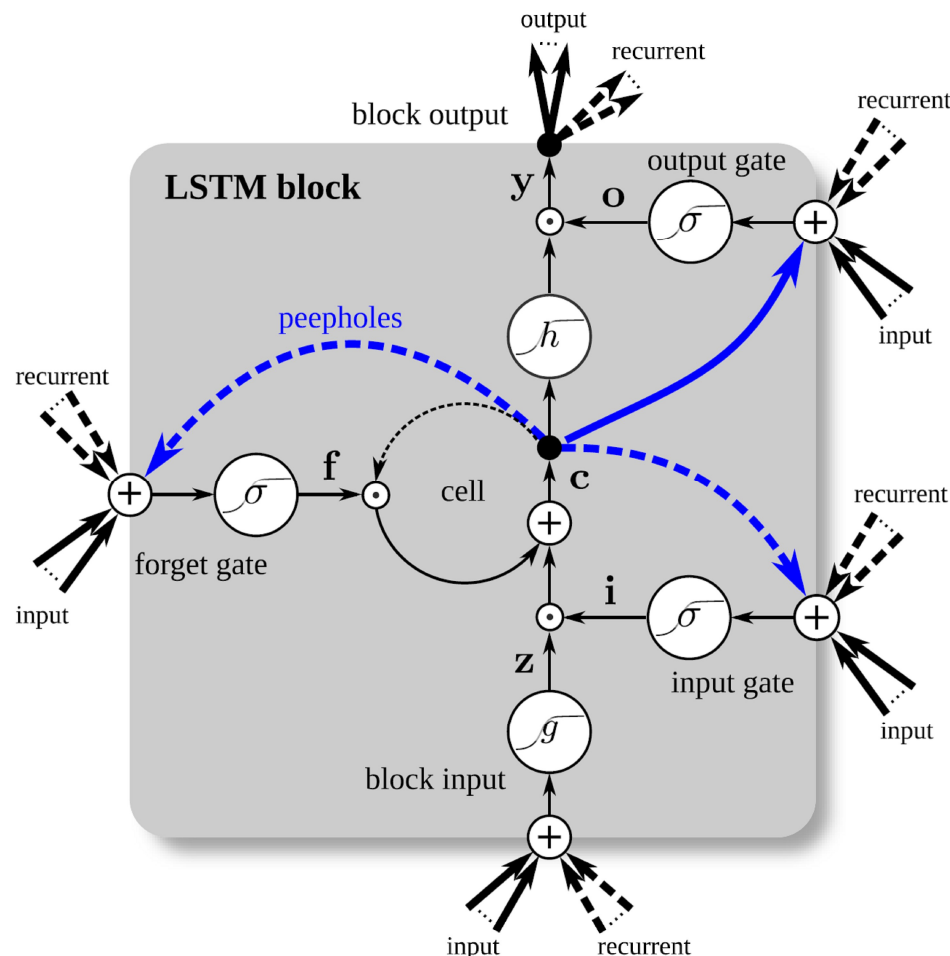
$$Loss(\mathbf{w}, [t_o, t_T]) = \frac{1}{2} \sum_{t=t_o}^{t=t_T} \sum_{k \in A} (y_k(t) - a_k(t))^2$$

Retropropagação no tempo

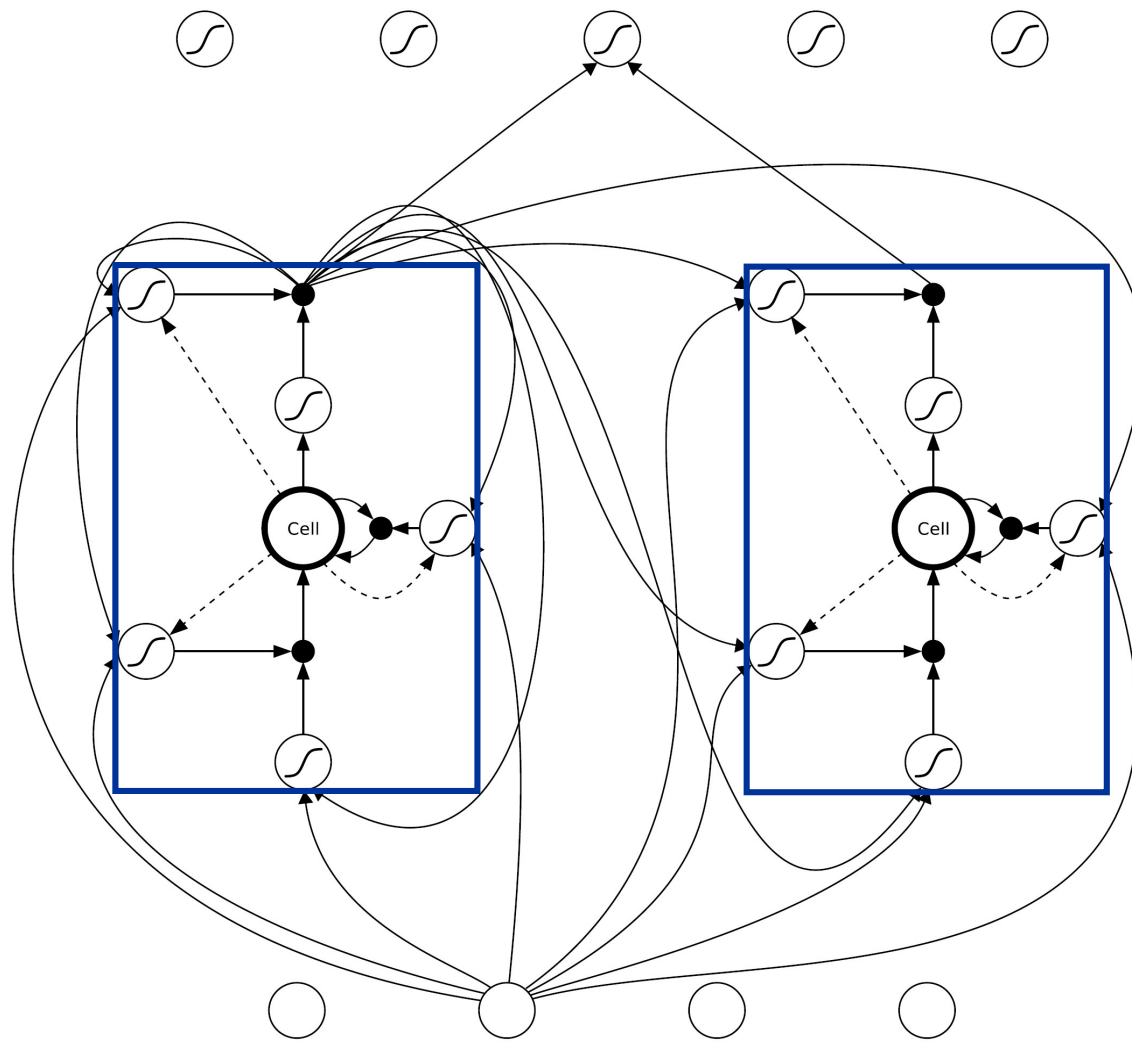
$$\Delta_j(t) = \begin{cases} Err_j(t) g'(in_j(t)) & t = t_o \\ g'(in_j(t))[Err_j(t) + \sum_{k \in A} w_{kj} \Delta_k(t+1)] & t_0 < t < t_T \end{cases}$$

$$w_{ji} \leftarrow w_{ji} + \alpha \sum_{t=t_0+1}^{t=T} a_i(t-1) \Delta_j(t)$$

LSTM (Long Short Term Memory)



Fonte: K. Greff, R. Srivastava, J. Koutnik, B. Steunebrink, J. Schmidhuber, LSTM: A Search Space Odyssey
IEEE Trans. Neural Networks and Learning Systems, vol. 28, no. 10, October 2017



M entradas e N blocos LSTM

$$\mathbf{x}(t) = (x_1(t), x_2(t), \dots, x_M(t))$$

Pesos

entrada: $\mathbf{W}_z, \mathbf{W}_s, \mathbf{W}_f, \mathbf{W}_o \in \mathbb{R}^{N \times M}$

recorrência: $\mathbf{R}_z, \mathbf{R}_s, \mathbf{R}_f, \mathbf{R}_o \in \mathbb{R}^{N \times N}$

peephole: $\mathbf{p}_s, \mathbf{p}_f, \mathbf{p}_o \in \mathbb{R}^N$

bias: $\mathbf{b}_z, \mathbf{b}_s, \mathbf{b}_f, \mathbf{b}_o \in \mathbb{R}^N$

Forward pass

$$\bar{\mathbf{z}}(t) = \mathbf{W}_z \mathbf{x}(t) + \mathbf{R}_z \mathbf{y}(t-1) + \mathbf{b}_z$$

$$\mathbf{z}(t) = g(\bar{\mathbf{z}}(t))$$

$$\bar{\mathbf{i}}(t) = \mathbf{W}_i \mathbf{x}(t) + \mathbf{R}_i \mathbf{y}(t-1) + \mathbf{p}_i \bullet \mathbf{c}(t-1) + \mathbf{b}_i$$

$$\mathbf{i}(t) = \sigma(\bar{\mathbf{i}}(t))$$

$$\bar{\mathbf{f}}(t) = \mathbf{W}_f \mathbf{x}(t) + \mathbf{R}_f \mathbf{y}(t-1) + \mathbf{p}_f \bullet \mathbf{c}(t-1) + \mathbf{b}_f$$

$$\mathbf{f}(t) = \sigma(\bar{\mathbf{f}}(t))$$

$$\mathbf{c}(t) = \mathbf{z}(t) \bullet \mathbf{i}(t) + \mathbf{c}(t-1) \bullet \mathbf{f}(t)$$

$$\bar{\mathbf{o}}(t) = \mathbf{W}_o \mathbf{x}(t) + \mathbf{R}_o \mathbf{y}(t-1) + \mathbf{p}_o \bullet \mathbf{c}(t) + \mathbf{b}_o$$

$$\mathbf{o}(t) = \sigma(\bar{\mathbf{o}}(t))$$

$$\mathbf{y}(t) = h(\mathbf{c}(t)) \bullet \mathbf{o}(t)$$

Retropropagação no tempo

$$\Delta \mathbf{y}(t) = \boldsymbol{\delta}(t) + \mathbf{R}_z^T \Delta \mathbf{z}(t+1) + \mathbf{R}_i^T \Delta \mathbf{i}(t+1) + \mathbf{R}_f^T \Delta \mathbf{f}(t+1) + \mathbf{R}_o^T \Delta \mathbf{o}(t+1)$$

$$\Delta \mathbf{o}(t) = \Delta \mathbf{y}(t) \bullet h(\mathbf{c}(t)) \bullet \sigma'(\bar{\mathbf{o}}(t))$$

$$\Delta \mathbf{c}(t) = \Delta \mathbf{y}(t) \bullet \mathbf{o}(t) \bullet h'(\mathbf{c}(t)) + \mathbf{p}_o \bullet \Delta \mathbf{o}(t) + \mathbf{p}_i \bullet \Delta \mathbf{i}(t+1) + \mathbf{p}_f \bullet \Delta \mathbf{f}(t+1) + \Delta \mathbf{c}(t+1) \bullet \mathbf{f}(t+1)$$

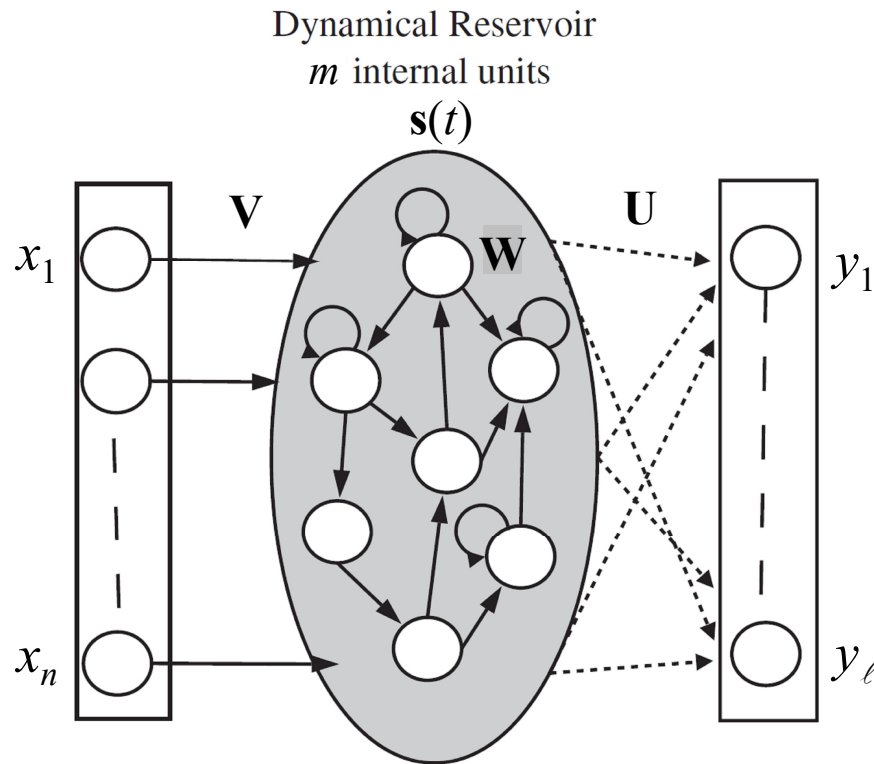
$$\Delta \mathbf{f}(t) = \Delta \mathbf{c}(t) \bullet \mathbf{c}(t-1) \bullet \sigma'(\bar{\mathbf{f}}(t))$$

$$\Delta \mathbf{i}(t) = \Delta \mathbf{c}(t) \bullet \mathbf{z}(t) \bullet \sigma'(\bar{\mathbf{i}}(t))$$

$$\Delta \mathbf{z}(t) = \Delta \mathbf{c}(t) \bullet \mathbf{i}(t) \bullet g'(\bar{\mathbf{z}}(t))$$

$$\boldsymbol{\delta}(t) = \frac{\partial Loss(\mathbf{w}, [t_0, t_T])}{\partial \mathbf{y}(t)}$$

Echo state state network



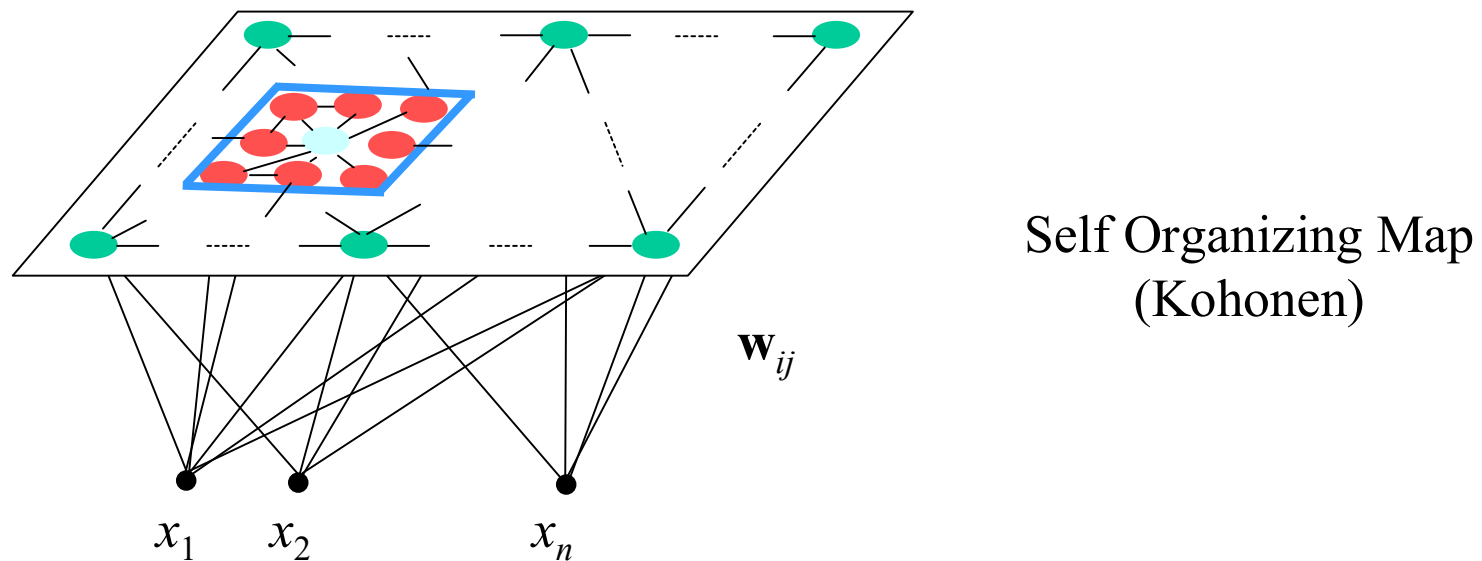
$$\mathbf{s}(t+1) = \mathbf{f}(\mathbf{V}\mathbf{x}(t+1) + \mathbf{W}\mathbf{s}(t))$$

$$\mathbf{y}(t+1) = \mathbf{U}\mathbf{s}(t+1)$$

\mathbf{V}, \mathbf{W} : aleatórias, distribuição uniforme sobre intervalo simétrico

$$\mathbf{W} \leftarrow \alpha \mathbf{W} / |\lambda_{max}|, 0 < \alpha < 1$$

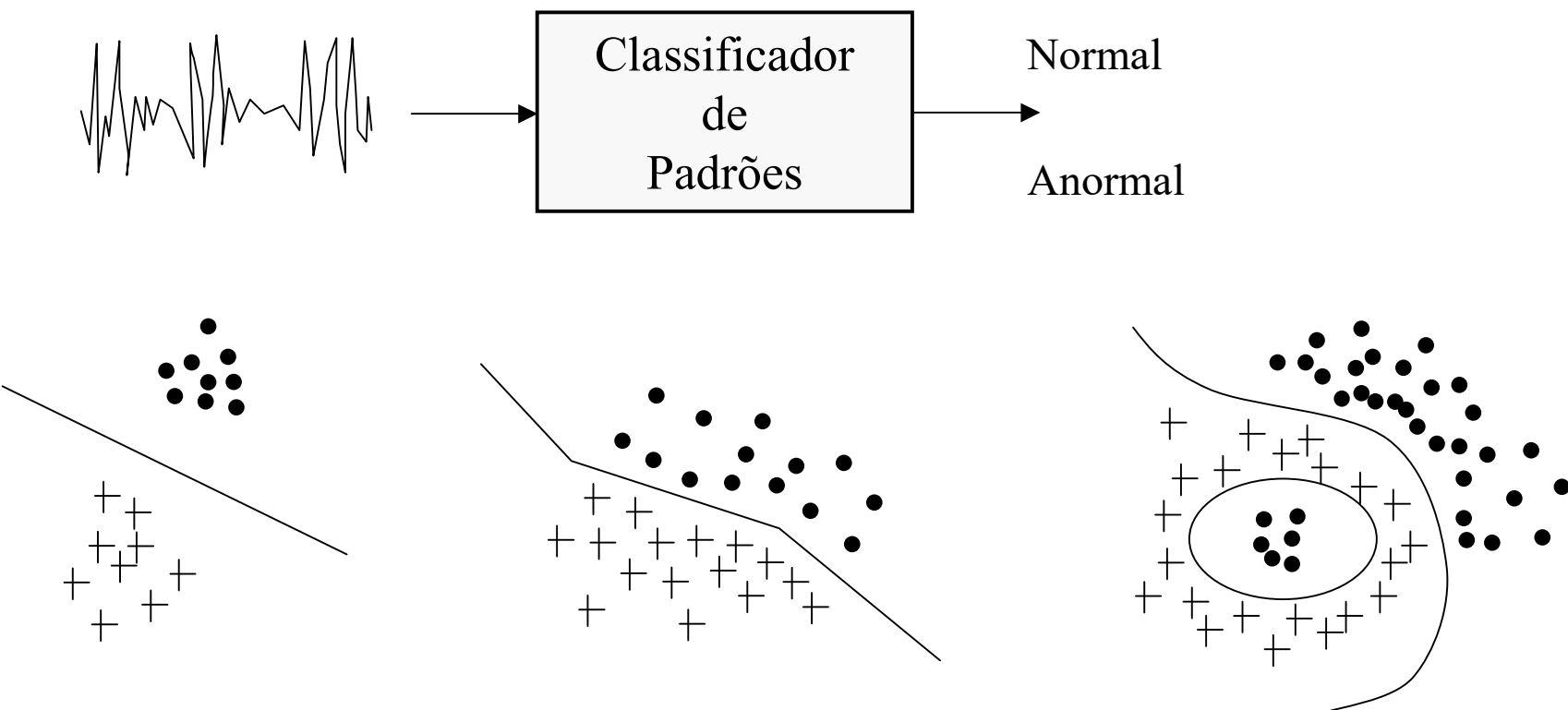
Aprendizagem via auto-organização



$$\mathbf{w}_{ij}(k+1) = \begin{cases} \mathbf{w}_{ij}(k) + \alpha(k)[\mathbf{x}(k) - \mathbf{w}_{ij}(k)], & \text{se } (i,j) \in N(k) \\ \mathbf{w}_{ij}(k) & \text{caso contrário} \end{cases}$$

Aplicações

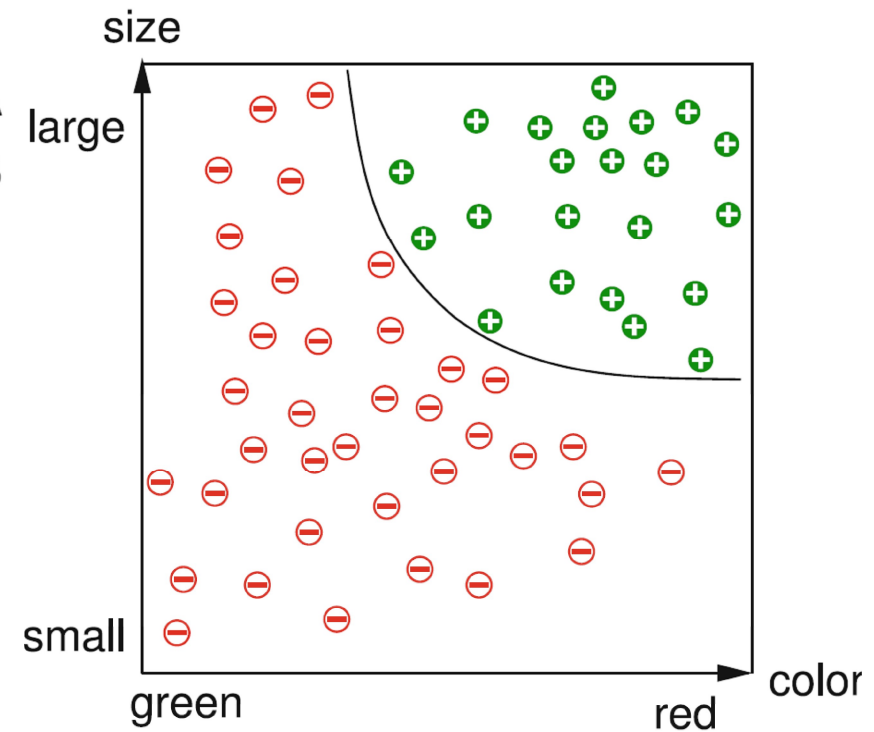
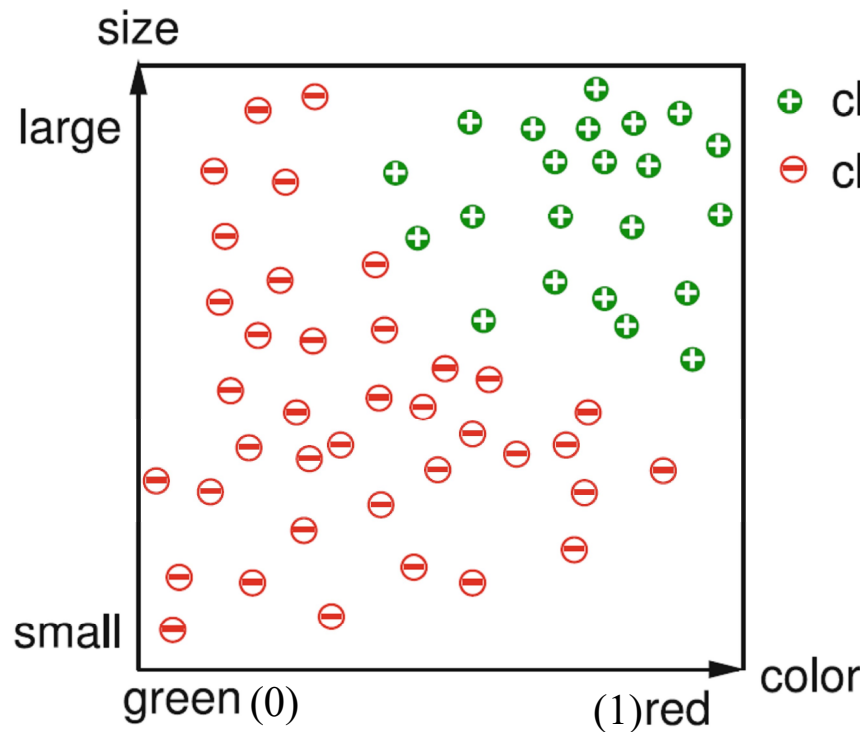
Classificação de padrões: diagnóstico



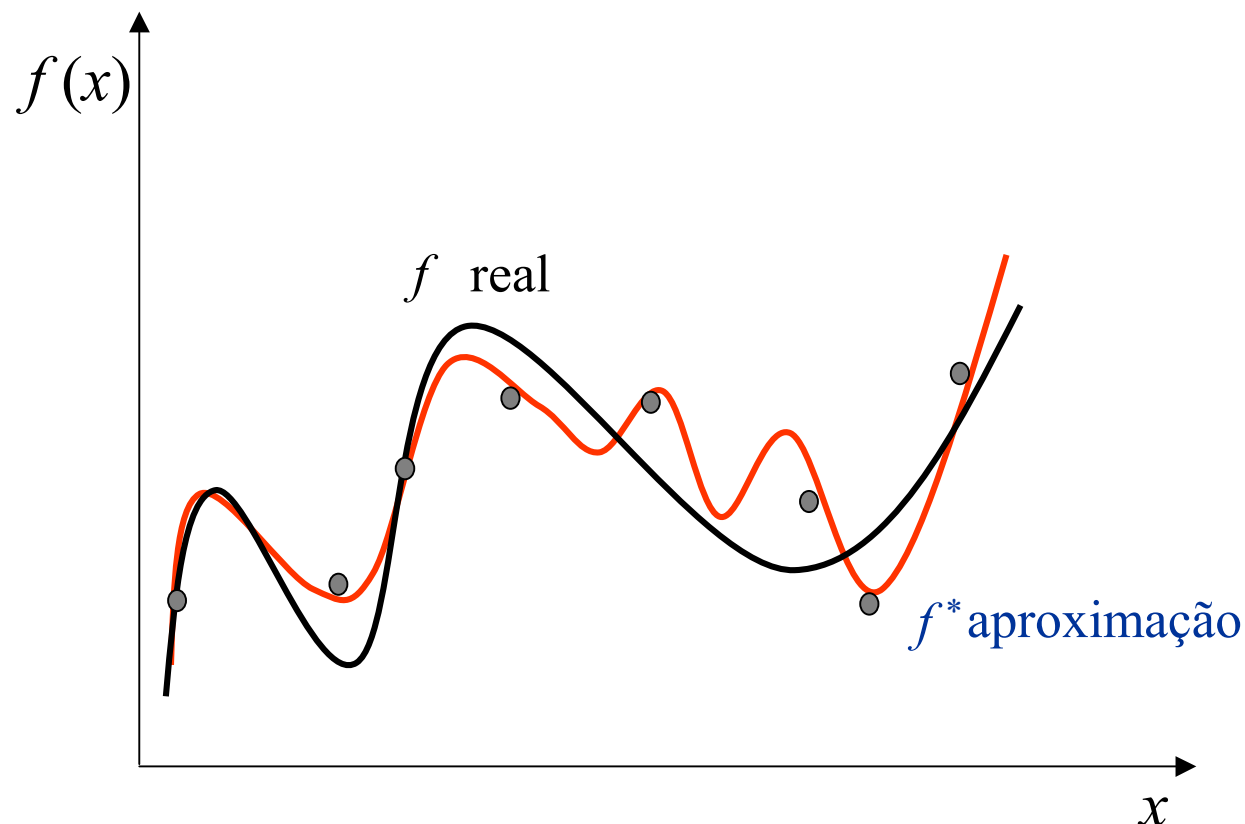
Classificação



Size [cm]	8	8	6	3	...
Color	0.1	0.3	0.9	0.8	...
Merchandise class	B	A	A	B	...



Modelagem de processos (aproximação funcional)

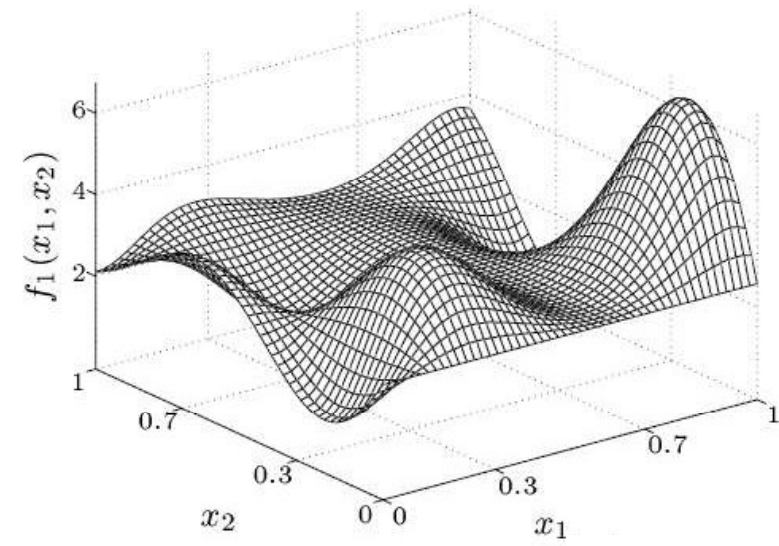
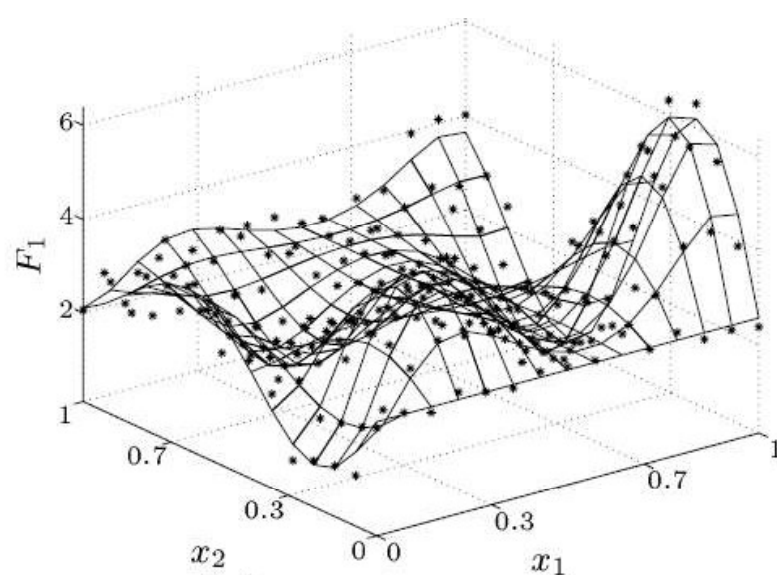


- = exemplos $[x, f(x)] + \text{ruído}$

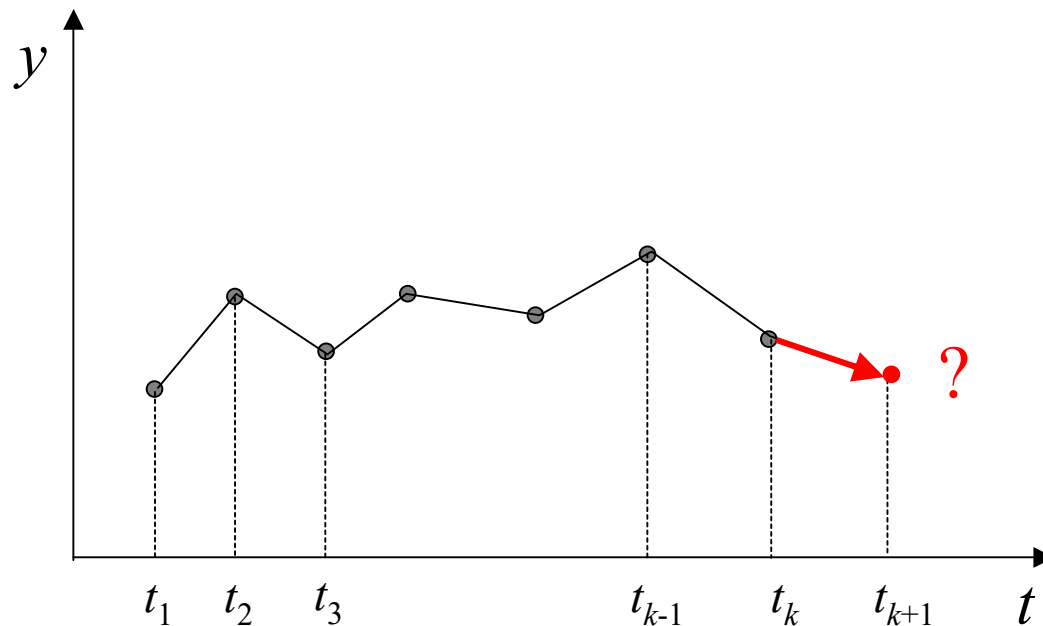
Exemplo

$$F_1: \Omega \rightarrow \mathbb{R}, F_1(x_1, x_2) = f_1(x_1, x_2) + N(m, \sigma), \Omega = [0, 1]^2$$

$$f_1(x_1, x_2) = 1.9(1.35 + \exp(x_1) \sin[13(x_1 - 0.6)^2] \exp(-x_2) \sin(7x_2))$$



Previsão séries temporais

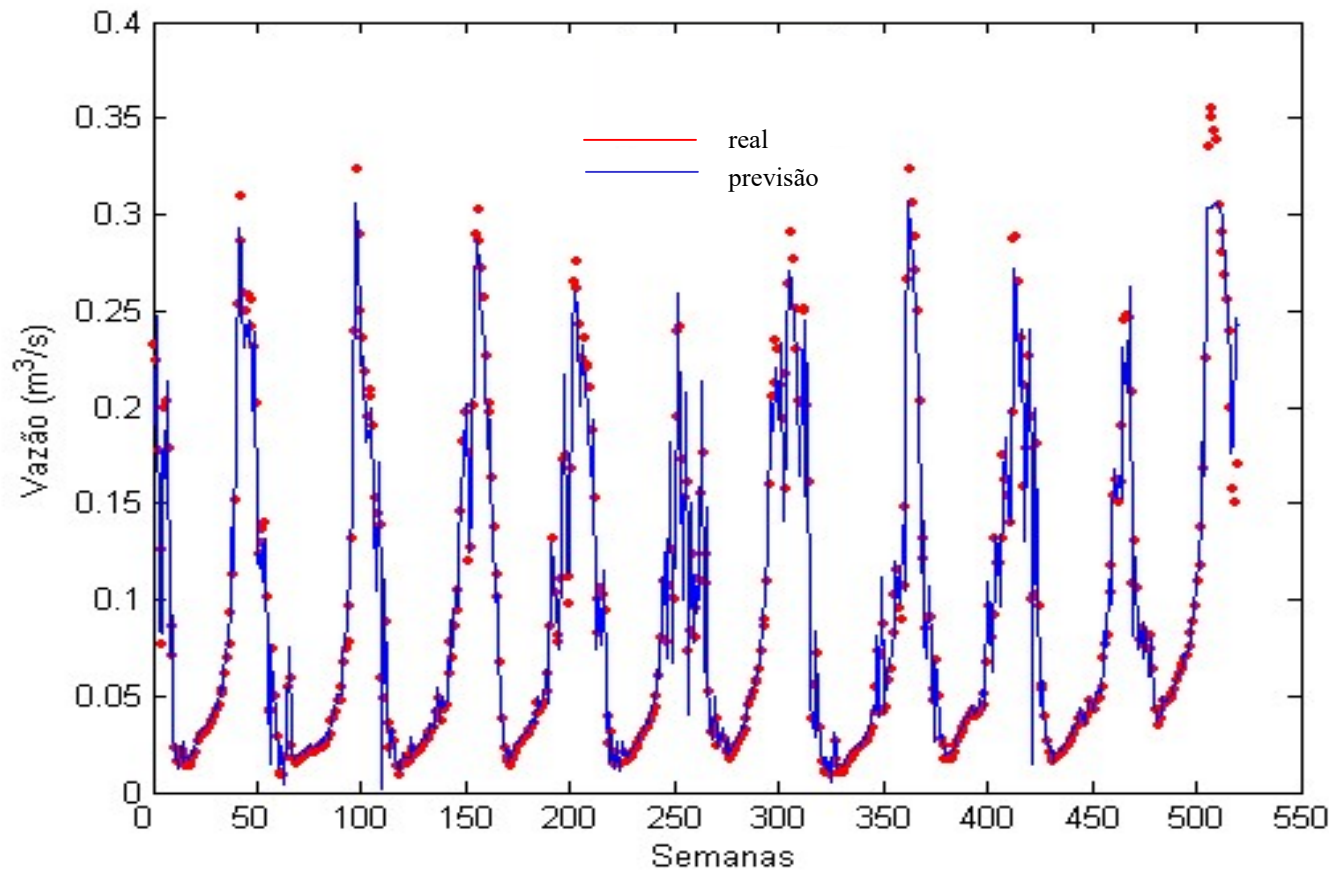


$y(t_i), y(t_j), \dots, y(t_k) \rightarrow y(t_{k+1})$

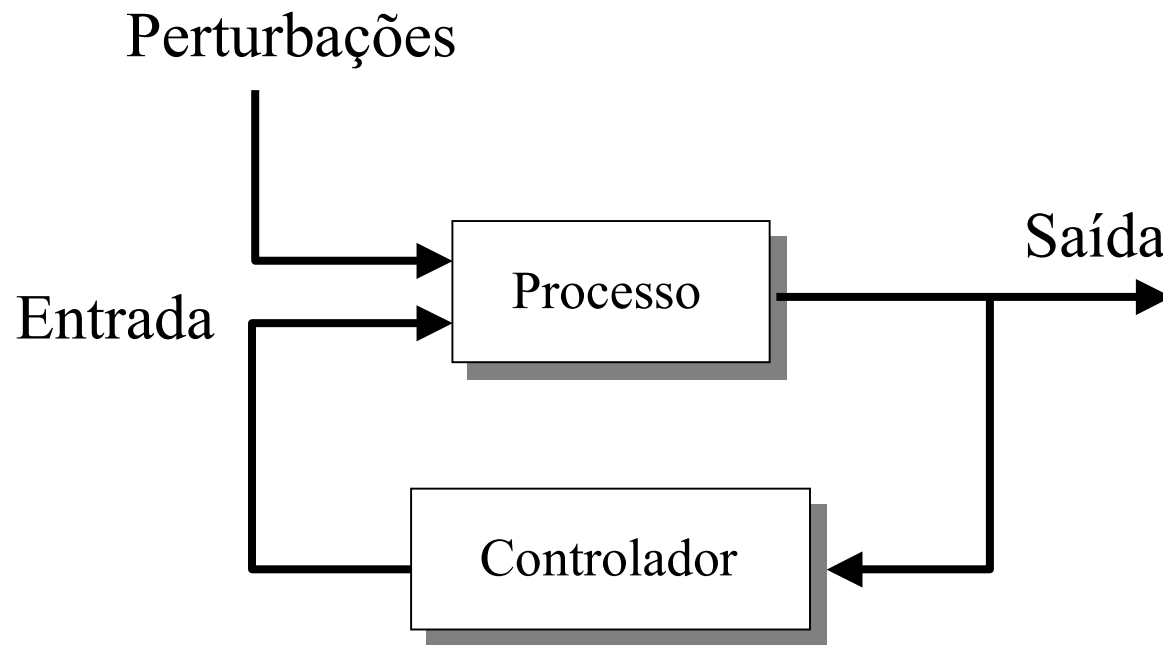
$y(t_i), y(t_{i+1}), \dots, y(t_k) \rightarrow y(t_{k+1})$ 1 passo à frente

$y(t_i), y(t_j), \dots, y(t_k) \rightarrow y(t_{k+h})$ h passos à frente

Previsão de vazão (Sobradinho)



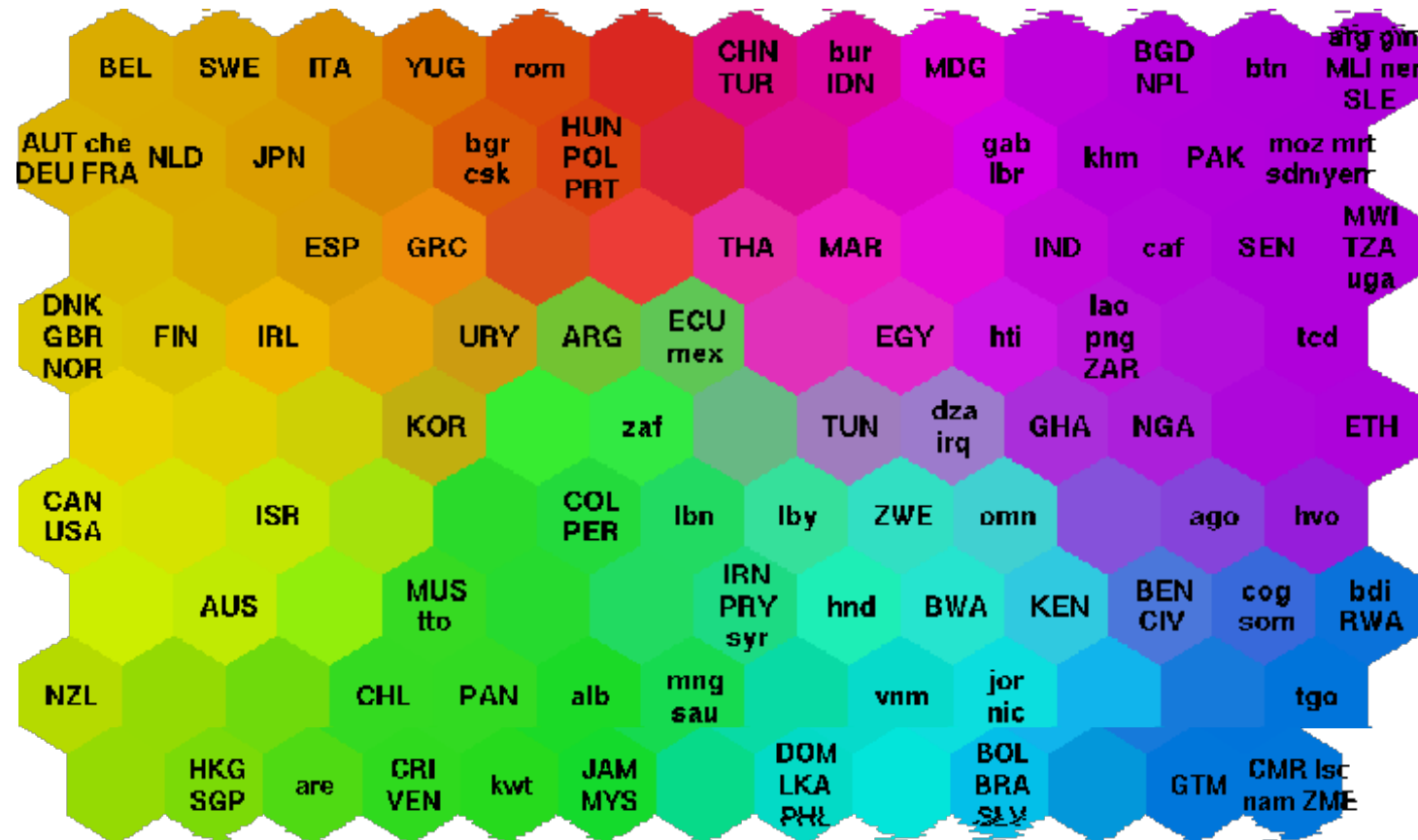
Controle de processos



<https://www.youtube.com/watch?v=C01qVU5E1OI>

<https://www.youtube.com/watch?v=3VL40Uyx2c4>

World poverty map 1992



Observação

Este material refere-se às notas de aula do curso EA 072 Inteligência Artificial em Aplicações Industriais da Faculdade de Engenharia Elétrica e de Computação da Unicamp. Não substitui o livro texto, as referências recomendadas e nem as aulas expositivas. Este material não pode ser reproduzido sem autorização prévia dos autores. Quando autorizado, seu uso é exclusivo para atividades de ensino e pesquisa em instituições sem fins lucrativos.